

Grafica pe calculator

Lucian GHIRVU

Reprezentarea curbelor si suprafetelor

Reprezentarea curbelor si suprafetelor

- Curbe si suprafete **netede**
 - Nu sunt fractali !

$$f : D \rightarrow \mathbb{R}$$

$$f(x) \in C^{(n)}(D), n \in \mathbb{N}$$

- f este derivabila de n ori pe intreg domeniul de definitie D
- $f^{(n)}(x)$ este continua
- De ce ?
- Necesitate

Reprezentarea curbelor si suprafetelor

- De ce ?
 - Obiecte inerent netede
 - Obiecte CAD
 - Fonturi
 - Desene artisti
 - Traectoria unei camere in animatie
 - Drumuri in spatii de culori

Reprezentarea curbelor si suprafetelor

- Necesitate
 - Modelarea unui obiect pentru care nu exista o descriere matematica iar modelarea prin memorarea coordonatelor tuturor (unui numar suficient) punctelor sale este imposibila
 - Aproximare pe portiuni
 - Plane, sfere, etc.
 - Modelarea iterativa a unui obiect

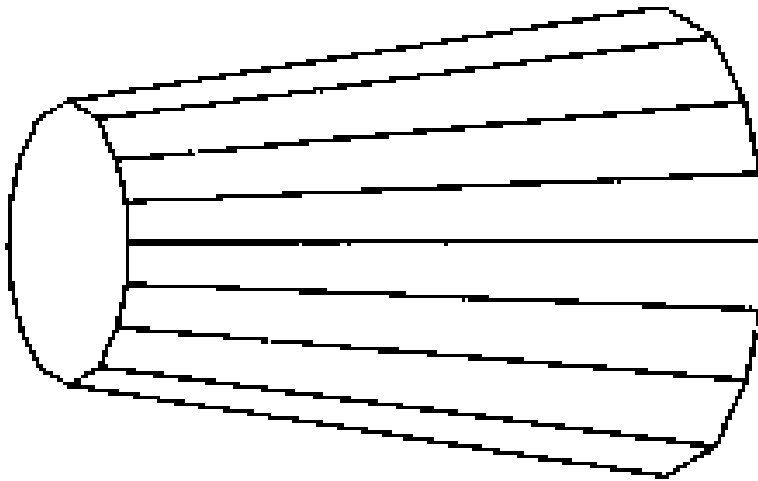
Reprezentarea curbelor si suprafetelor

- Retele de petice poligonale (polygon mesh)
- Curbe parametrice polinomiale (parametric polynomial curves)
 - Curbe parametrice cubice
- Petice de suprafete polinomiale parametrice bivariate (parametric bivariate polynomial surface patches)
 - Suprafete bicubice
- Suprafete cvadrice (quadric surfaces)

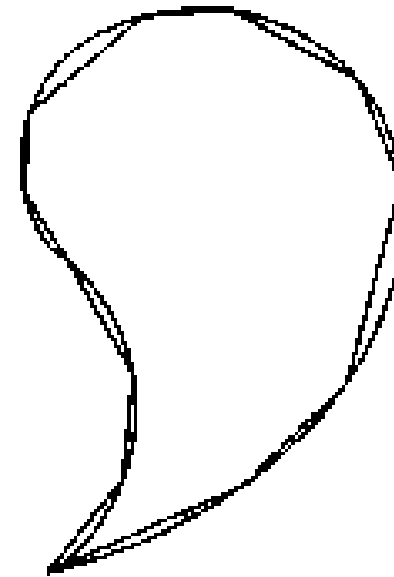
Retele de petice poligonale

- Definitie
 - O multime de suprafete poligonale (planare) marginite, conectate intre ele
- Modelare
 - Exacta
 - Volumele marginite de fete planare
 - Aproximare
 - Obiectele cu suprafete curbe

Retele de petice poligonale



Reprezentarea unui obiect 3D



Sectiune printr-un obiect
avand o forma curba si
reprezentarea sa poligonala

Curbe parametrice polinomiale

- Definitie
 - Puncte pe o curba 3D utilizand 3 polinoame in t

Curbe parametrice polinomiale

$$Q(t) = (x(t) \quad y(t) \quad z(t))$$
$$\left\{ \begin{array}{l} x(t) = \sum_{k=0}^{n_x} x_k t^k \\ y(t) = \sum_{k=0}^{n_y} y_k t^k, \quad 0 \leq t \leq 1 \\ z(t) = \sum_{k=0}^{n_z} z_k t^k \end{array} \right.$$

Curbe parametrice polinomiale cubice

$$Q(t) = (x(t) \quad y(t) \quad z(t))$$
$$\left\{ \begin{array}{l} x(t) = \sum_{k=0}^{n_x} x_k t^k \\ y(t) = \sum_{k=0}^{n_y} y_k t^k, \quad 0 \leq t \leq 1 \\ z(t) = \sum_{k=0}^{n_z} z_k t^k \end{array} \right. \quad \wedge \quad \left\{ \begin{array}{l} n_x = 3 \\ n_y = 3 \\ n_z = 3 \end{array} \right.$$

Suprafete polinomiale parametrice

- Parametric bivariate polynomial surface patches
- Definitie
 - Puncte pe o suprafata curba utilizand 3 polinoame bivariate in s si t
 - Limitele suprafetei sunt curbe parametrice polinomiale
- Comparatie SPP vs RPP
 - Reprezentare mai eficienta prin SPP decat prin RPP
 - Numar mai mic de petice
 - Algoritmi mai complecsi in cazul SPP in raport cu RPP
 - Descrierea mai complexa d.p.d.v. matematic

Suprafete polinomiale parametrice

$$Q(s, t) = (x(s, t) \quad y(s, t) \quad z(s, t))$$

x, y, z polinoame in s si in t

$$0 \leq s, t \leq 1$$

Suprafete bicubice

$$Q(s, t) = (x(s, t) \quad y(s, t) \quad z(s, t))$$

x, y, z polinoame de grad cel mult 3 in s si in t

$$0 \leq s, t \leq 1$$

Suprafete cvadrice

- Suprafete definite implicit printr-o ecuatie de forma $f(x,y,z) = 0$, unde f este un polinom de grad cel mult 2 in x , y si z

$$f(x_1, x_2, x_3) = \sum_{i,j=1}^3 Q_{i,j} x_i x_j + \sum_{i=1}^3 P_i x_i + R$$

$$Q = \begin{pmatrix} a & d & f \\ d & b & e \\ f & e & c \end{pmatrix} \in \mathfrak{M}_{3 \times 3}(\mathfrak{R})$$

$$P = (g \quad h \quad i) \in \mathfrak{M}_{1 \times 3}(\mathfrak{R})$$

$$R \in \mathfrak{R}$$

Suprafete cvadrice

- Obiecte modelate exact

- Sfere $f(x, y, z) = \frac{x^2}{a^2} + \frac{y^2}{a^2} + \frac{z^2}{a^2} - 1$

- Elipsoizi $f(x, y, z) = \frac{x^2}{a^2} + \frac{y^2}{b^2} + \frac{z^2}{c^2} - 1$

- Cilindri

- Eliptici $f(x, y, z) = \frac{x^2}{a^2} + \frac{y^2}{b^2} - 1$

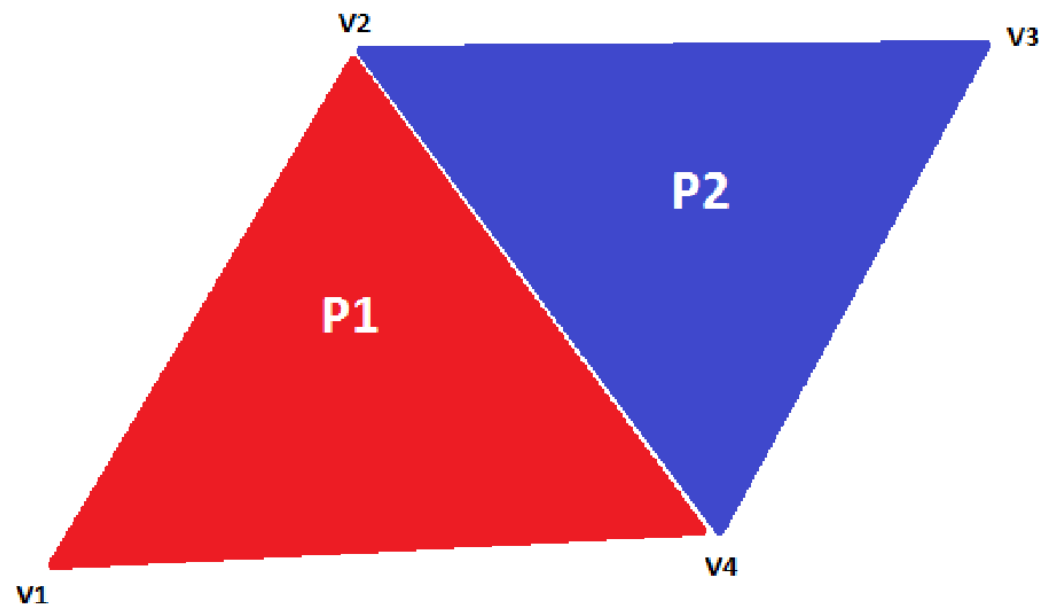
- Circulari $f(x, y, z) = \frac{x^2}{a^2} + \frac{y^2}{a^2} - 1$

Retele de petice poligonale

- Reprezentare
 - Explicita
 - Pointeri la o lista de varfuri
 - Pointeri la o lista de muchii

Retele de petice poligonale

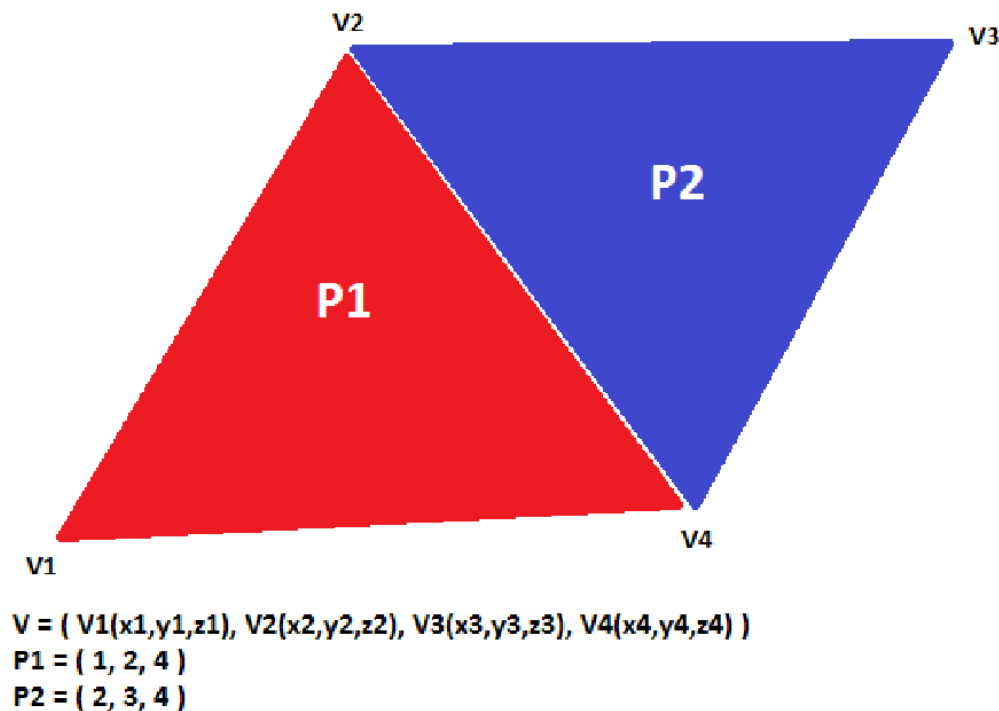
- Reprezentare explicita



$P1 = (V1(x1,y1,z1), V2(x2,y2,z2), V4(x4,y4,z4))$
 $P2 = (V2(x2,y2,z2), V3(x3,y3,z3), V4(x4,y4,z4))$

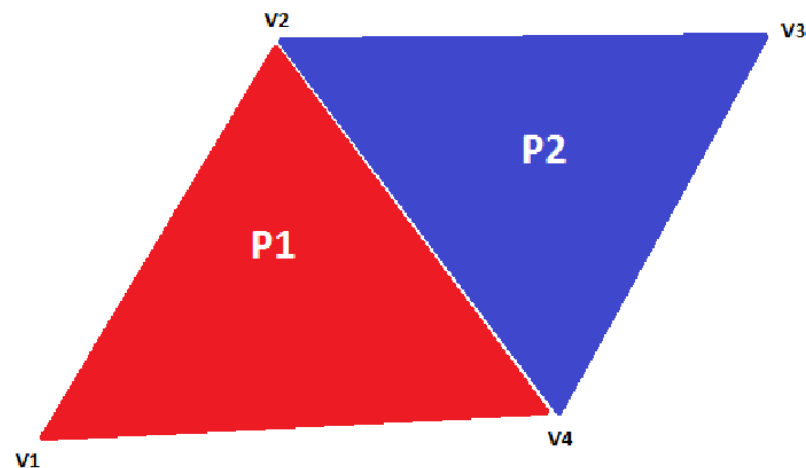
Retele de petice poligonale

- Reprezentare prin pointeri la o lista de varfuri



Retele de petice poligonale

- Reprezentare prin pointeri la o lista de muchii



```
V = ( V1{x1,y1,z1}, V2{x2,y2,z2}, V3{x3,y3,z3}, V4{x4,y4,z4} )  
E = ( E1, E2, E3, E4, E5 )  
E1 = ( V1, V2, P1, NULL )  
E2 = ( V2, V3, P2, NULL )  
E3 = ( V3, V4, P2, NULL )  
E4 = ( V2, V4, P1, P2 )  
P1 = ( 1, 4, 5 )  
P2 = ( 2, 3, 4 )
```

Retele de petice poligonale

- Consistenta
 - Toate poligoanele sunt inchise
 - Fiecare muchie este utilizata c.putin 1 data si c.mult un nr. fixat de ori
 - La fiecare varf fac referire c.putin 2 muchii
 - Suplimentar:
 - RPP sa fie un graf conex
 - RPP sa fie un graf planar
 - RPP sa nu aiba goluri (sa existe o unica frontiera)

Retele de petice poligonale

- Planaritate
 - Problema: daca un poligon este neplanar (de ex., are 4 varfuri iar unul dintre ele nu se afla in planul determinat de celelalte 3) cum se calculeaza normala poligonului ?

Retele de petice poligonale

- Planaritate

$$\pi : Ax + By + Cz + D = 0$$

$$D = 0 \Leftrightarrow O(0,0,0) \in \pi$$

$$Pp. \quad D \neq 0 \Rightarrow \pi : A'x + B'y + C'z + 1 = 0$$

Retele de petice poligonale

- Planaritate

Normala planului

$$\pi : Ax + By + Cz + 1 = 0$$

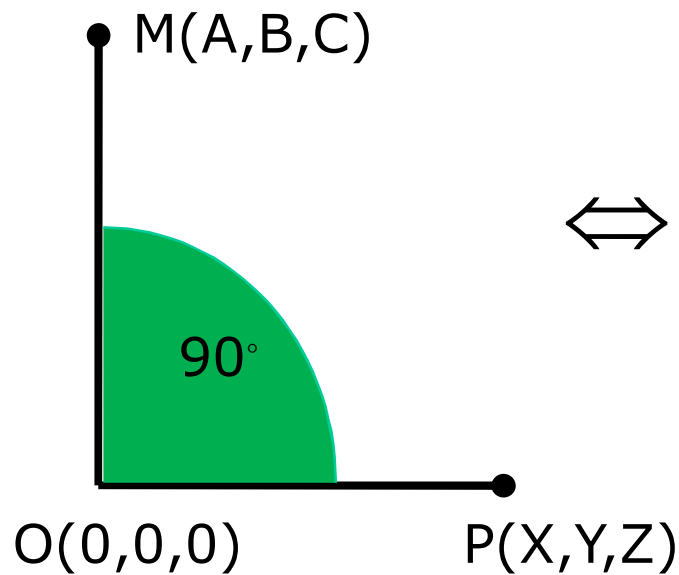
Este

$$N_{\pi} : \frac{A\vec{i} + B\vec{j} + C\vec{k}}{\sqrt{A^2 + B^2 + C^2}}$$

Si rezulta din: $P1 \wedge P2 \wedge P3$

Retele de petice poligonale

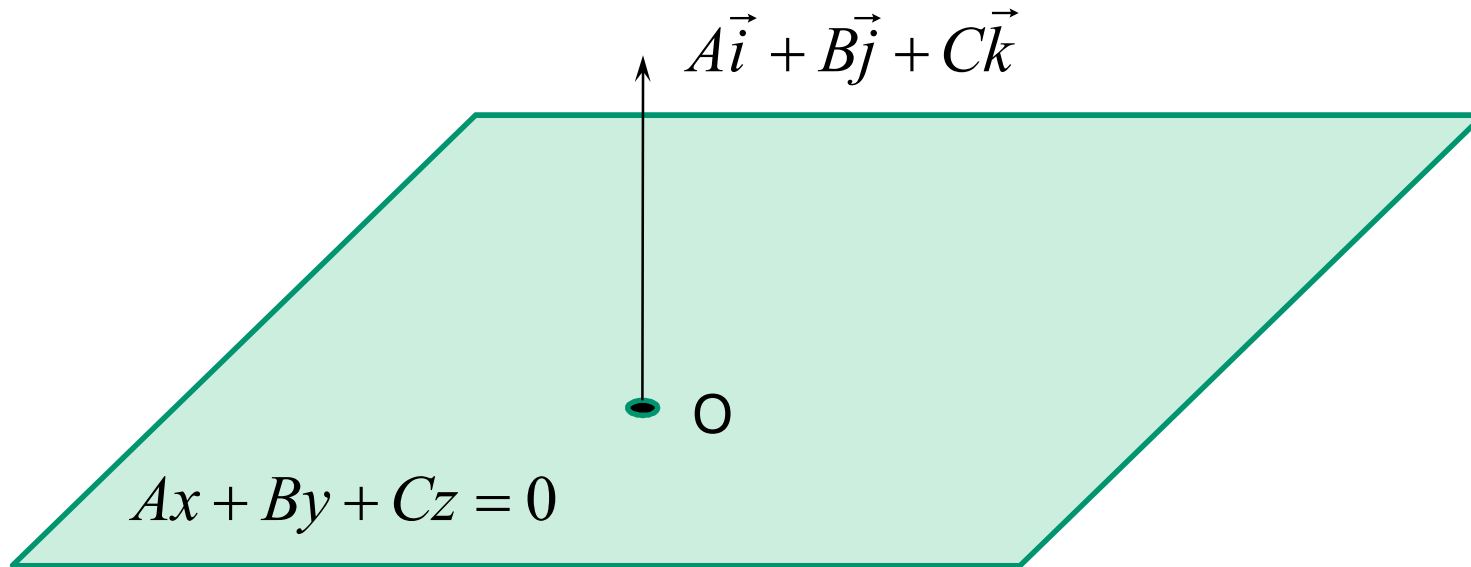
- Si rezulta din
– P1



$$\Leftrightarrow AX + BY + CZ = 0$$

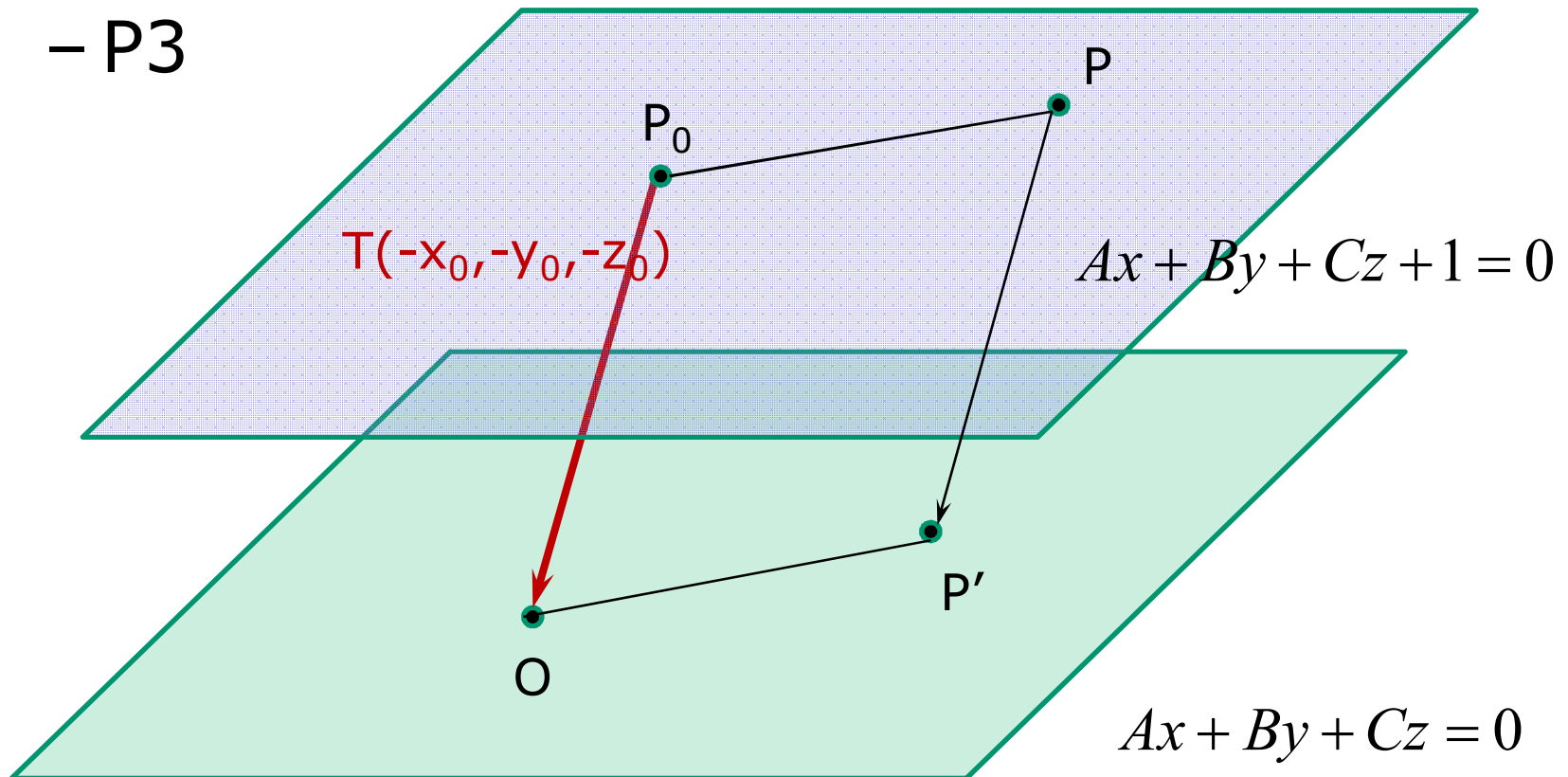
Retele de petice poligonale

- Si rezulta din
– P2



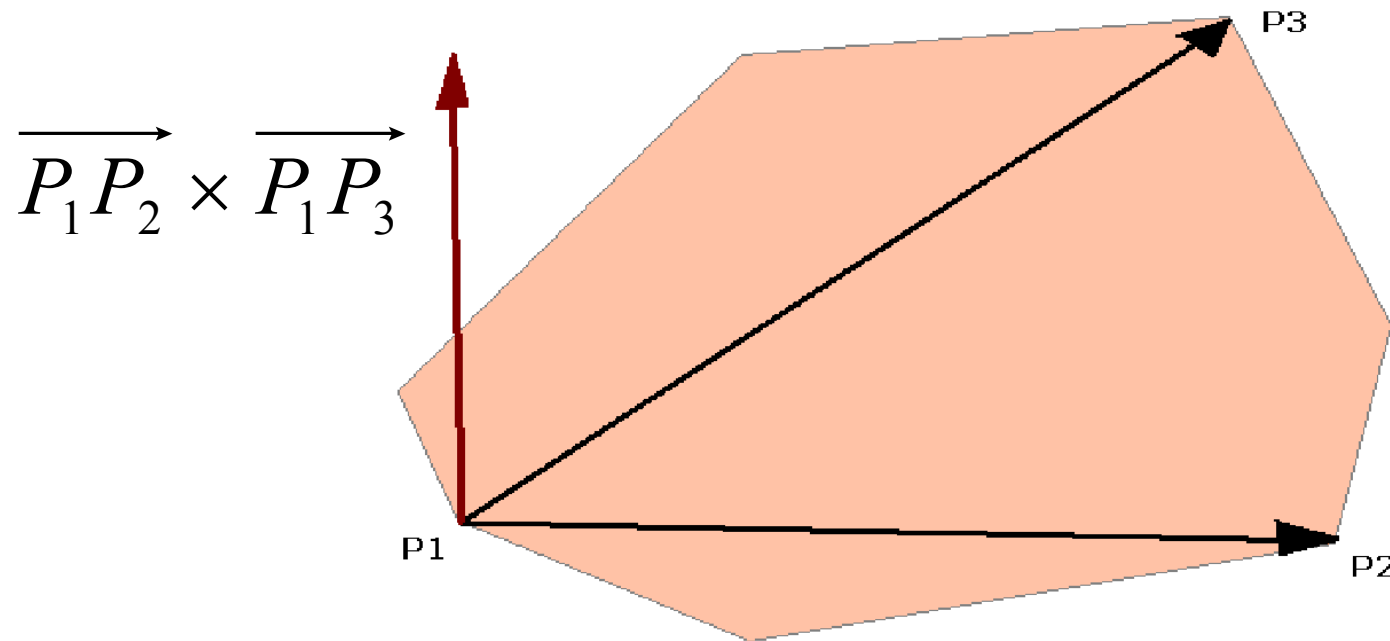
Retele de petice poligonale

- Si rezulta din
– P3



Retele de petice poligonale

- Calcul normala poligon – metoda 1



Retele de petice poligonale

- Calcul normala poligon – metoda 2

$$A = \frac{1}{2} \cdot \sum_{i=1}^n (z_i + z_{i \oplus 1}) \cdot (y_{i \oplus 1} - y_i)$$

$$B = \frac{1}{2} \cdot \sum_{i=1}^n (x_i + x_{i \oplus 1}) \cdot (z_{i \oplus 1} - z_i)$$

$$C = \frac{1}{2} \cdot \sum_{i=1}^n (y_i + y_{i \oplus 1}) \cdot (x_{i \oplus 1} - x_i)$$

$$a \oplus 1 = \begin{cases} a + 1 & , \quad 1 \leq a < n \\ 1 & , \quad a = n \end{cases}$$

Retele de petice poligonale

- Masura neplanaritatii poligonului
Distanța dintre $M_0(x_0, y_0, z_0)$ la planul

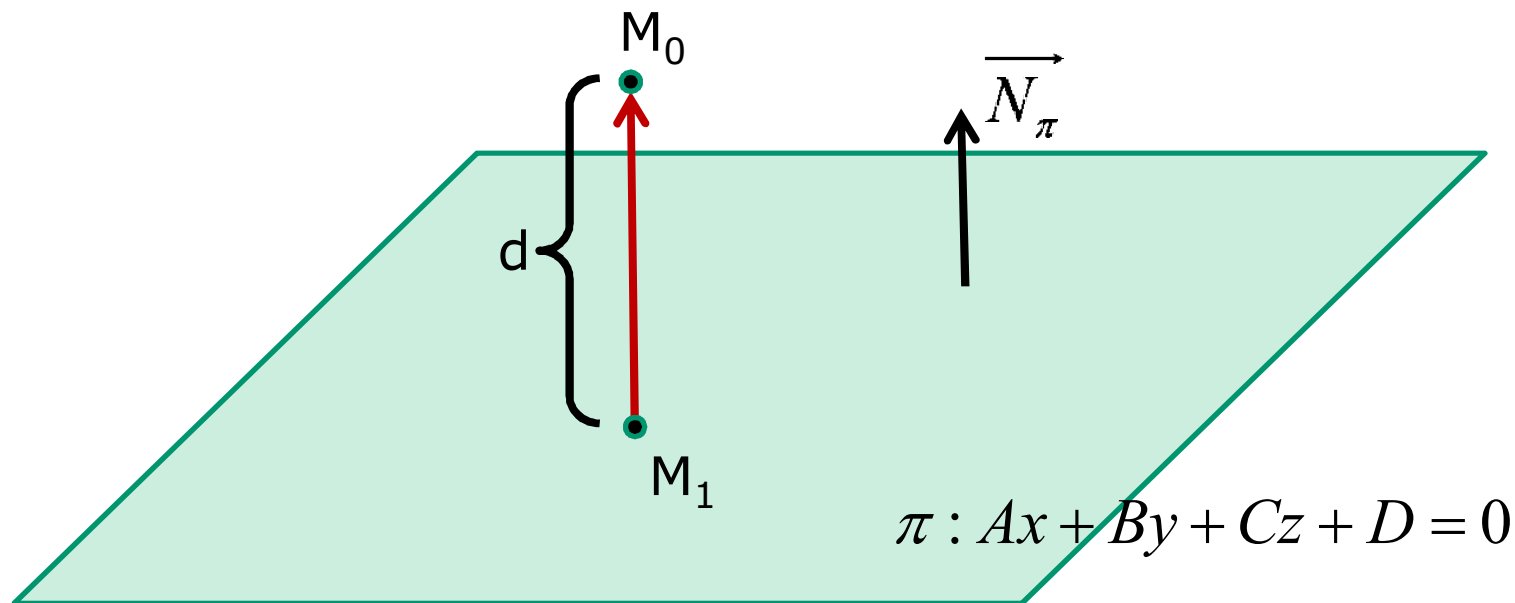
$$\pi : Ax + By + Cz + D = 0$$

este

$$d = \frac{Ax_0 + By_0 + Cz_0 + D}{\sqrt{A^2 + B^2 + C^2}}$$

Retele de petice poligonale

- Masura neplanaritatii poligonului



Curbe parametrice polinomiale cubice

Definitie

$$Q(t) = (x(t) \quad y(t) \quad z(t))$$

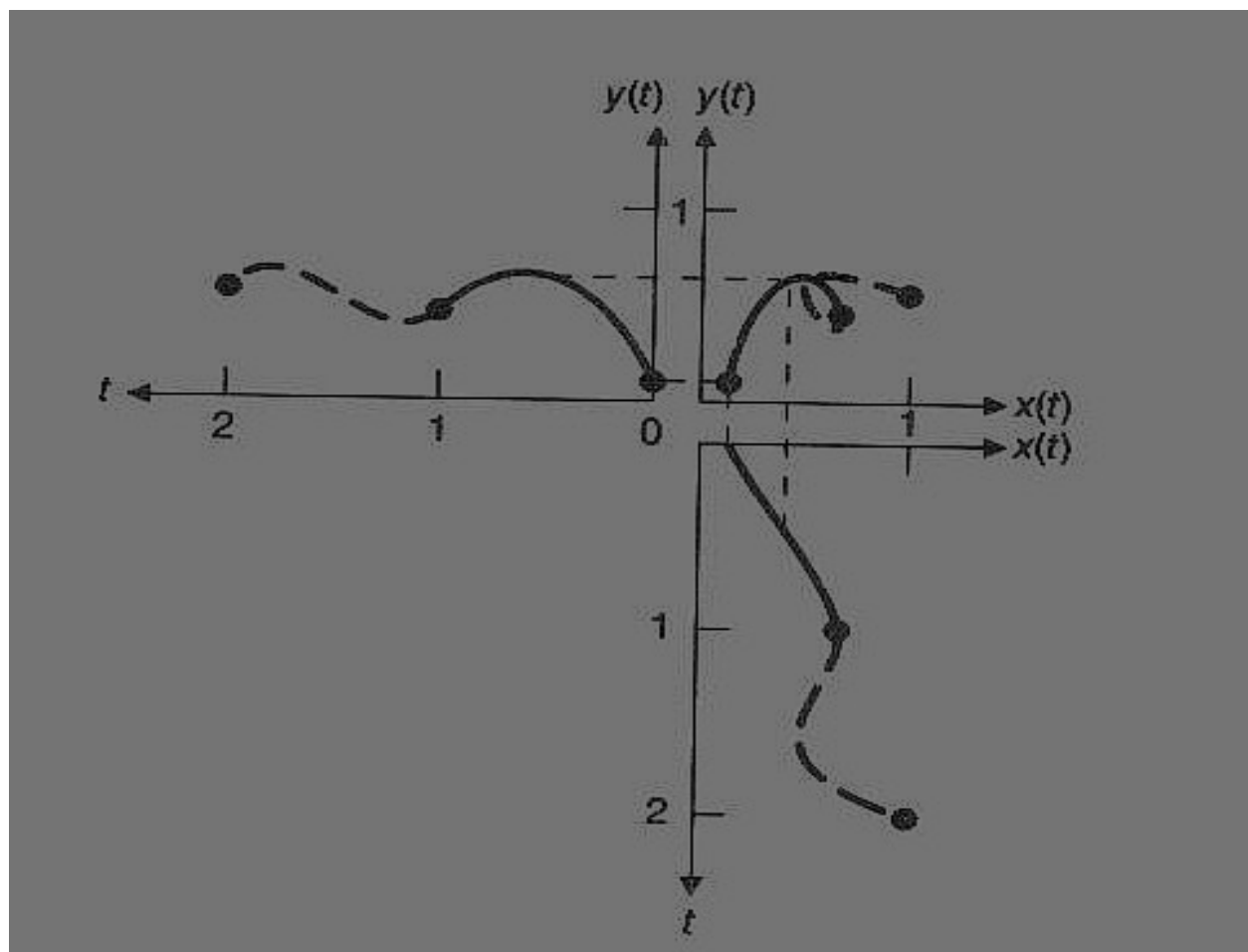
$$\begin{cases} x(t) = a_x t^3 + b_x t^2 + c_x t + d_x \\ y(t) = a_y t^3 + b_y t^2 + c_y t + d_y, & 0 \leq t \leq 1 \\ z(t) = a_z t^3 + b_z t^2 + c_z t + d_z \end{cases}$$

$$Q(t) = T \cdot C$$

$$T = \begin{pmatrix} t^3 & t^2 & t & 1 \end{pmatrix}$$

$$C = \begin{pmatrix} a_x & a_y & a_z \\ b_x & b_y & b_z \\ c_x & c_y & c_z \\ d_x & d_y & d_z \end{pmatrix}$$

Doua segmente de curbe parametrice 2D si polinoamele care le definesc. Linia punctata intre graficele (x,y) si $x(t)$, $y(t)$ arata corespondenta dintre punctele de pe curba (x,y) si polinoamele cubice care le definesc : $x = x(t)$, $y = y(t)$.



Curbe parametrice polinomiale cubice

Vectorul parametric tangent

$$\begin{aligned} Q'(t) &= \frac{d}{dt} Q(t) = \left(\frac{d}{dt} x(t) \quad \frac{d}{dt} y(t) \quad \frac{d}{dt} z(t) \right) \\ &= \frac{d}{dt} T \cdot C = \begin{pmatrix} 3t^2 & 2t & 1 & 0 \end{pmatrix} \cdot C \\ &= \begin{pmatrix} 3a_x t^2 + 2b_x t + c_x \\ 3a_y t^2 + 2b_y t + c_y \\ 3a_z t^2 + 2b_z t + c_z \end{pmatrix} \end{aligned}$$

Continuitatea in punctul de contact

- Deoarece un segment de curba polinomiala cubica este continuu (cele 3 componente fiind polinoame) ne intereseaza continuitatea in punctul de contact a doua segmente de curba.

Continuitatea in punctul de contact

- Deoarece un segment de curba polinomiala cubica este continuu (cele 3 componente fiind polinoame) ne intereseaza continuitatea in punctul de contact a doua segmente de curba.
- Tipuri de continuitate
 - Continuitatea geometrica (G-continuitatea)
 - C-continuitatea

Continuitate geometrica

G-continuitate

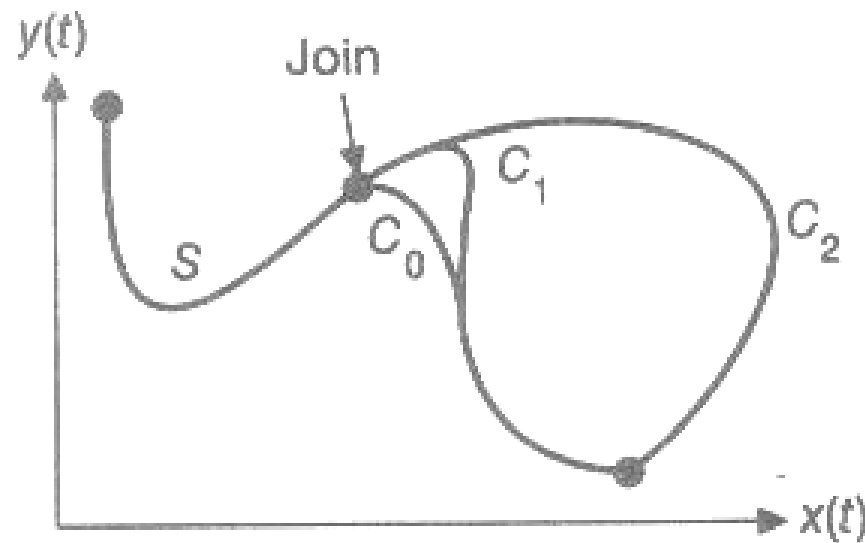
- 2 segmente de curba parametrica Q_1 si Q_2 sunt **G^0 -continue** daca se unesc intr-o extremitate ($Q_1(1) = Q_2(0)$ sau $Q_1(0) = Q_2(1)$).
- 2 segmente de curba parametrica Q_1 si Q_2 sunt **G^1 -continue** daca sunt G^0 -continue si in punctul de contact cele 2 segmente de curba au aceeasi tangenta geometrica.

C-continuitatea

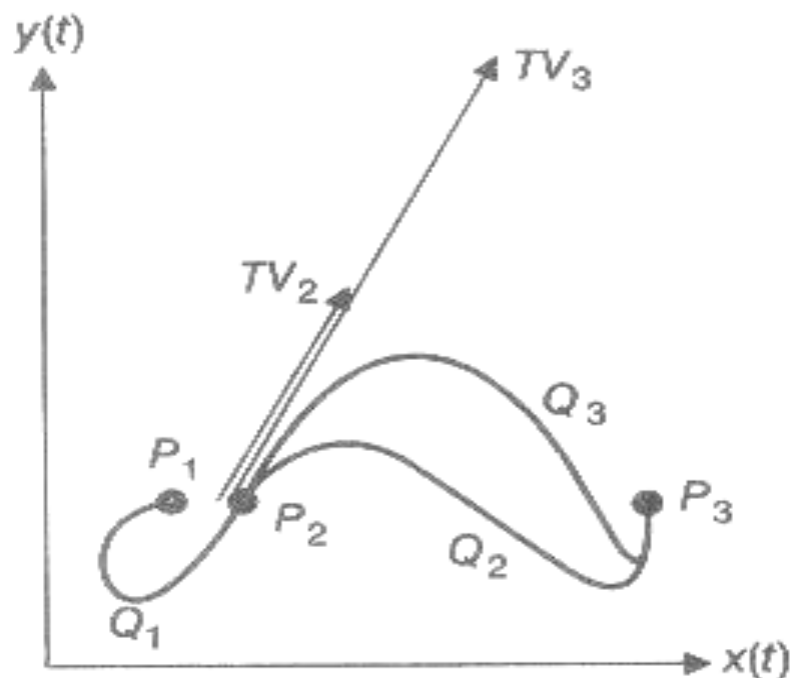
- 2 segmente de curba parametrica Q_1 si Q_2 sunt **C^1 -continue** daca in punctul de contact vectorii parametrici tangenti la cele 2 segmente de curba sunt egali (aceeasi directie, sens, marime): $Q_1'(1) = Q_2'(0)$.
- 2 segmente de curba parametrica Q_1 si Q_2 sunt **C^n -continue** daca

$$Q_1^{(n)}(1) = Q_2^{(n)}(0), \quad \text{unde } Q^{(n)}(t) = \frac{d^n}{dt^n}[Q(t)]$$

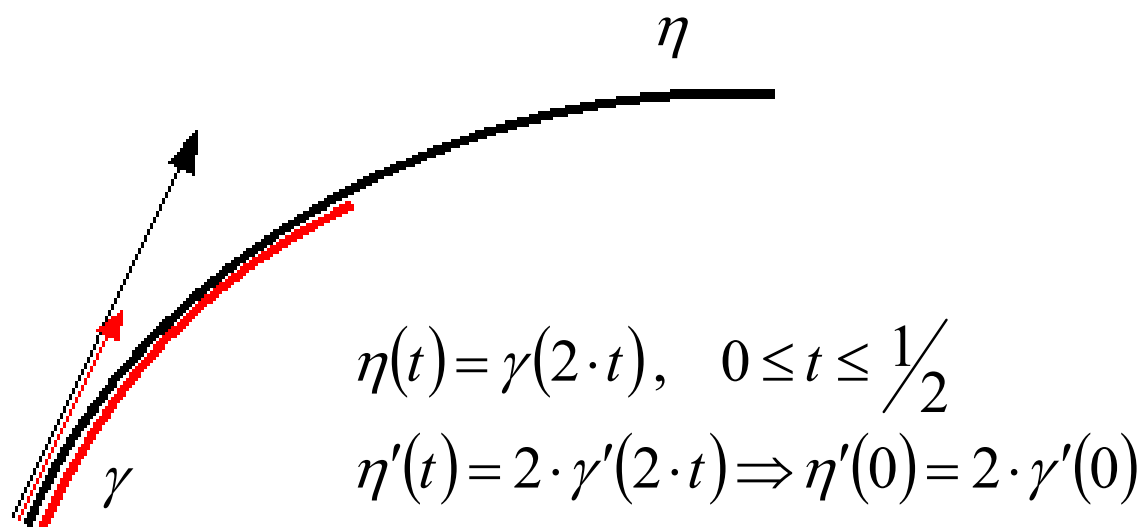
Punct de contact (join) cu continuitate C^0 , C^1 , C^2



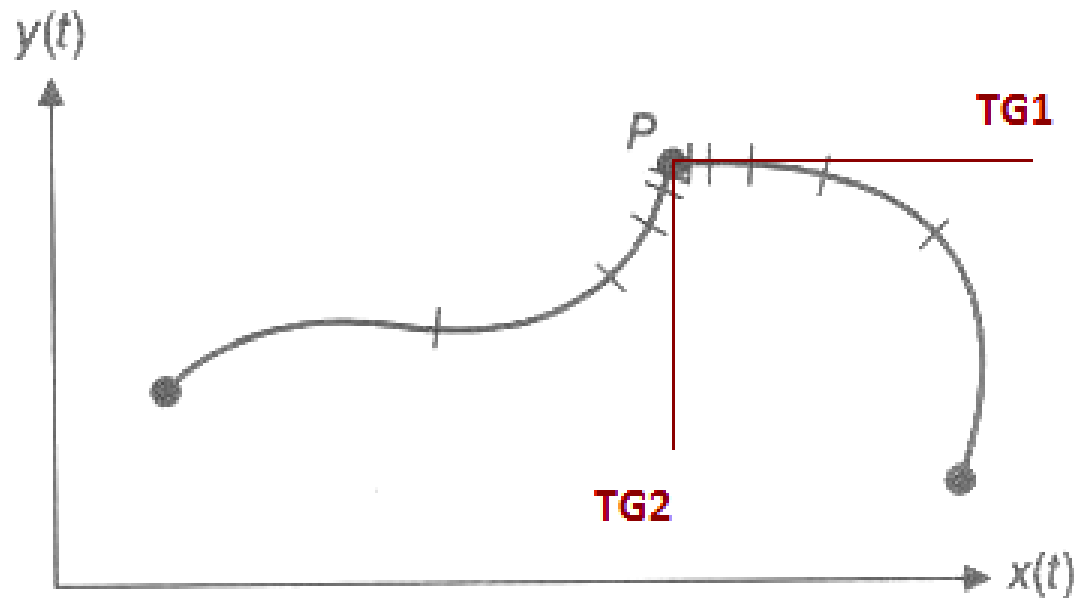
Continuitatea G^1 nu implica continuitatea C^1 . Segmentele de curba Q_1 , Q_2 si Q_3 se unesc in P_2 . Q_1 si Q_2 au vectori tangenti egali (deci sunt continue G^1 si C^1 in punctul de contact). Q_1 si Q_3 au vectori tangenti in aceeaasi directie dar $TV_3 = 2 TV_2$ (si deci sunt doar continue G^1 in punctul de contact).



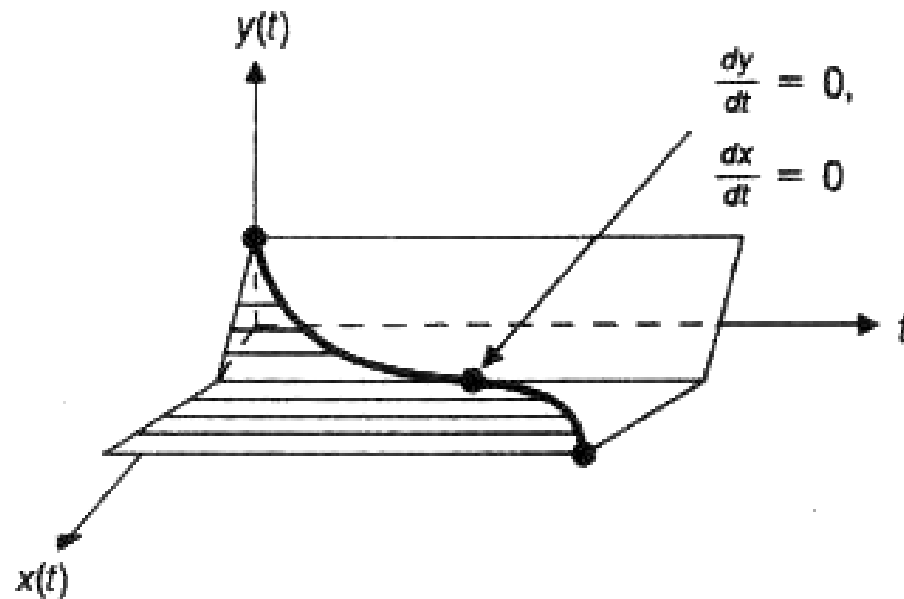
Continuitatea G^1 nu implica continuitatea C^1 .



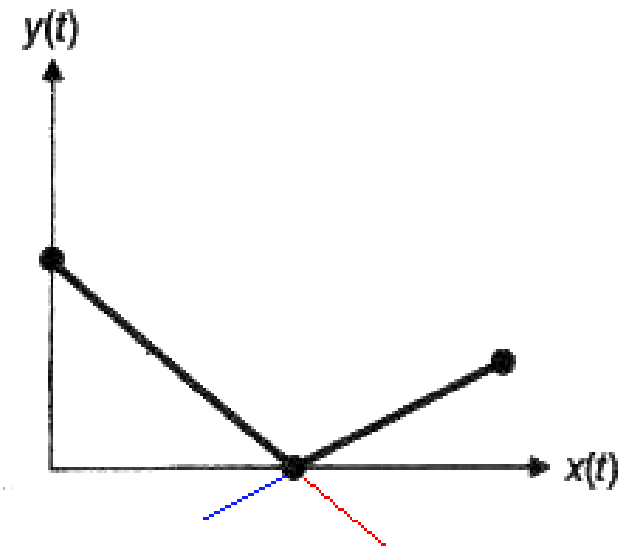
Continuitatea C^1 implica, **in general**, continuitatea G^1 , cu exceptia cazului cand $Q'(t) = 0$. Avem C^1 dar nu G^1 . Vectorul tangent (viteza parametrica de-a lungul curbei) este 0 in punctul de contact. Marcajele indica intervale egale de timp, deci pe masura ce ne apropiem, pe curba, de P viteza scade catre 0 si apoi creste din nou plecand de la 0.



Continuitatea C^1 implica, **in general**, pe cea G^1 . Un caz in care nu implica: in punctul de contact vitezele parametrice sunt 0 ($= dy / dt = dx / dt$). Se poate observa ca in punctul de contact curba este || cu axa t si deci nu exista nici o schimbare in x sau in y . In punctul de contact curbele parametrice sunt continue C^1 dar nu sunt continue G^1 .



O curba parametrica cubica 2D in spatiul (x, y, t)



Aceeasi curba parametrica cubica 2D in spatiul 2D $(x(t), y(t))$

Curbe parametrice polinomiale cubice

Constrangeri

- Pentru determinarea coeficientilor C , in cazul curbelor parametrice polinomiale cubice, avem nevoie de **12** constrangeri (pentru putea formula 3 sisteme a cate 4 ecuatii cu 4 necunoscute)
- Constrangerile pot fi
 - $Q(0)$, $Q(1)$, $Q'(0)$, $Q'(1)$ pentru curbele Hermite
 - $Q(0)$, $Q(1)$ si alte 2 puncte de control pentru curbele Bézier

Curbe parametrice polinomiale cubice

$$Q(t) = T \cdot C = T \cdot M \cdot G = B \cdot G$$

$$M = \left(m_{ij} \right)_{\substack{1 \leq i \leq 4 \\ 1 \leq j \leq 4}} \in M_{4 \times 4}(\mathbf{R}) \quad \text{matricea de baza}$$

$$G \in M_{4 \times 3}(\mathbf{R}) \quad \text{vectorul geometric (geometry vector)}$$

$$G = \begin{pmatrix} g_{1x} & g_{1y} & g_{1z} \\ g_{2x} & g_{2y} & g_{2z} \\ g_{3x} & g_{3y} & g_{3z} \\ g_{4x} & g_{4y} & g_{4z} \end{pmatrix} = \begin{pmatrix} G_1 \\ G_2 \\ G_3 \\ G_4 \end{pmatrix} = (G_x \quad G_y \quad G_z)$$

$$B \in M_{1 \times 4}(\mathbf{R}) \quad \text{functii de amestecare (blending functions)}$$

Curbe parametrice polinomiale cubice

$$Q(t) =$$

$$T \cdot M \cdot G =$$

$$\begin{pmatrix} t^3 & t^2 & t & 1 \end{pmatrix} \cdot \begin{pmatrix} m_{11} & m_{12} & m_{13} & m_{14} \\ m_{21} & m_{22} & m_{23} & m_{24} \\ m_{31} & m_{32} & m_{33} & m_{34} \\ m_{41} & m_{42} & m_{43} & m_{44} \end{pmatrix} \cdot \begin{pmatrix} G_1 \\ G_2 \\ G_3 \\ G_4 \end{pmatrix} =$$

$$\sum_{j=1}^4 \left(\sum_{i=1}^4 m_{ij} \cdot t^{4-i} \right) \cdot G_j$$

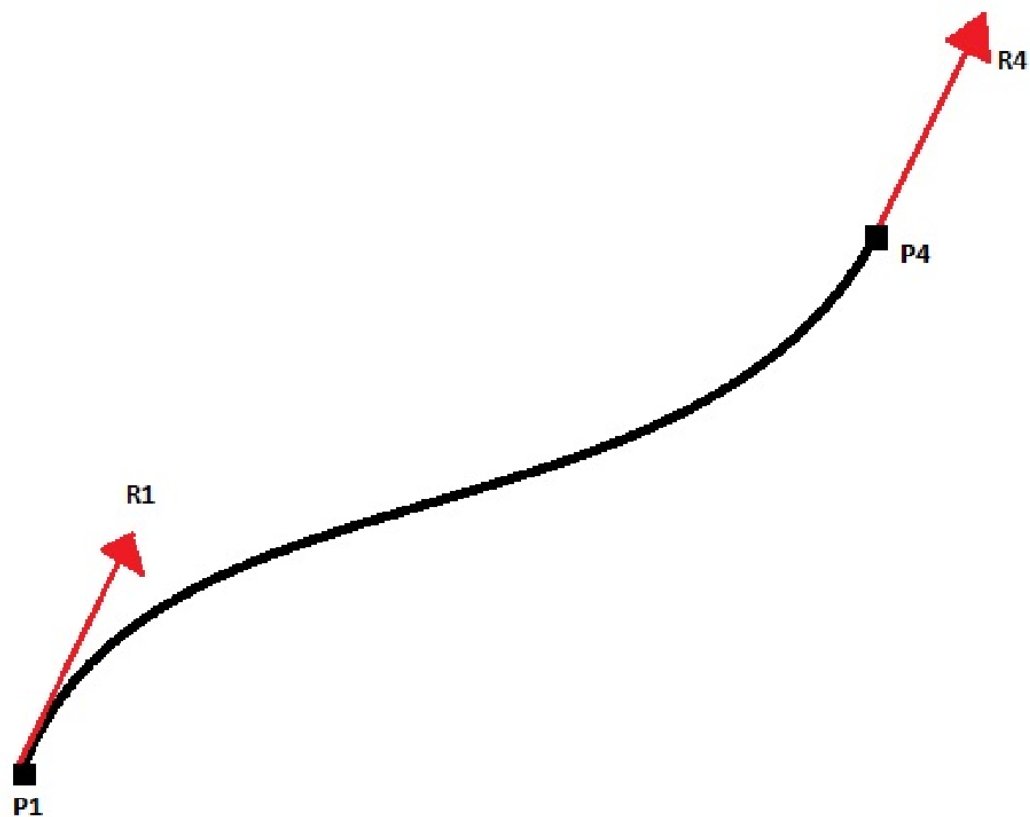
Curbe Hermite

$$Q(t) = T \cdot M_H \cdot G_H$$

$$G_H = \begin{pmatrix} P_1 \\ P_4 \\ R_1 \\ R_4 \end{pmatrix} = \begin{pmatrix} Q(0) \\ Q(1) \\ Q'(0) \\ Q'(1) \end{pmatrix} = \begin{pmatrix} 0 & 0 & 0 & 1 \\ 1 & 1 & 1 & 1 \\ 0 & 0 & 1 & 0 \\ 3 & 2 & 1 & 0 \end{pmatrix} \cdot M_H \cdot G_H \Rightarrow$$

$$M_H = \begin{pmatrix} 0 & 0 & 0 & 1 \\ 1 & 1 & 1 & 1 \\ 0 & 0 & 1 & 0 \\ 3 & 2 & 1 & 0 \end{pmatrix}^{-1} = \begin{pmatrix} 2 & -2 & 1 & 1 \\ -3 & 3 & -2 & -1 \\ 0 & 0 & 1 & 0 \\ 1 & 0 & 0 & 0 \end{pmatrix}$$

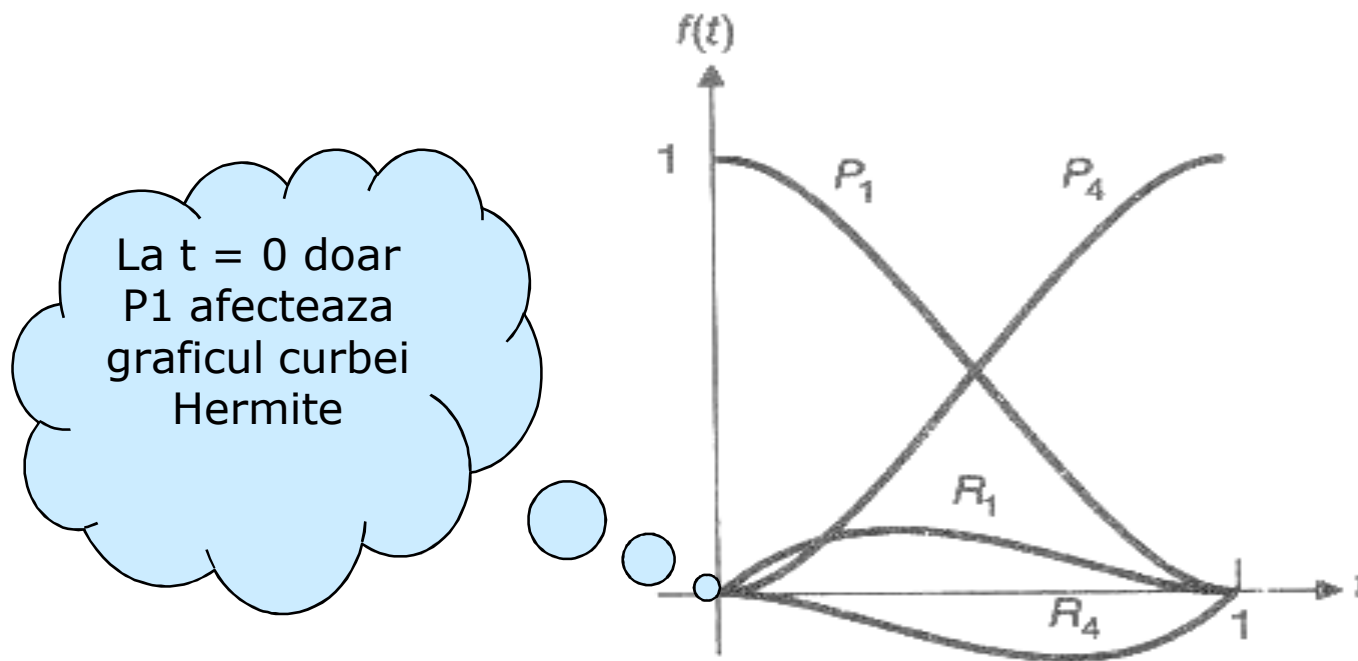
Curbe Hermite



Curbe Hermite functiile de amestecare

$$B_H = T \cdot M_H = \begin{pmatrix} 2t^3 - 3t^2 + 1 \\ -2t^3 + 3t^2 \\ t^3 - 2t^2 + t \\ t^3 - t^2 \end{pmatrix}$$

Curbe Hermite functiile de amestecare

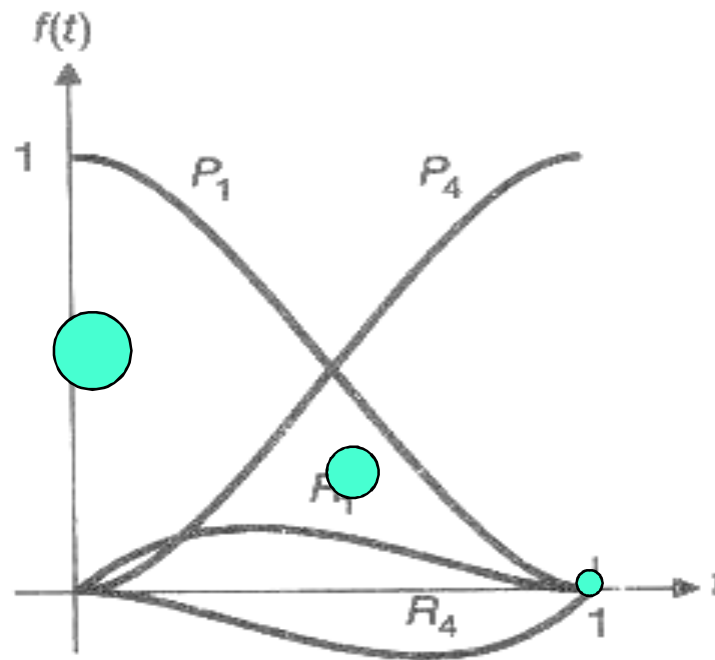


$$Q(t) = B_H \cdot G_H \Rightarrow$$

$$Q(t) = (2t^3 - 3t^2 + 1) \cdot P_1 + (-2t^3 + 3t^2) \cdot P_4 + (t^3 - 2t^2 + t) \cdot R_1 + (t^3 - t^2) \cdot R_4$$

Curbe Hermite functiile de amestecare

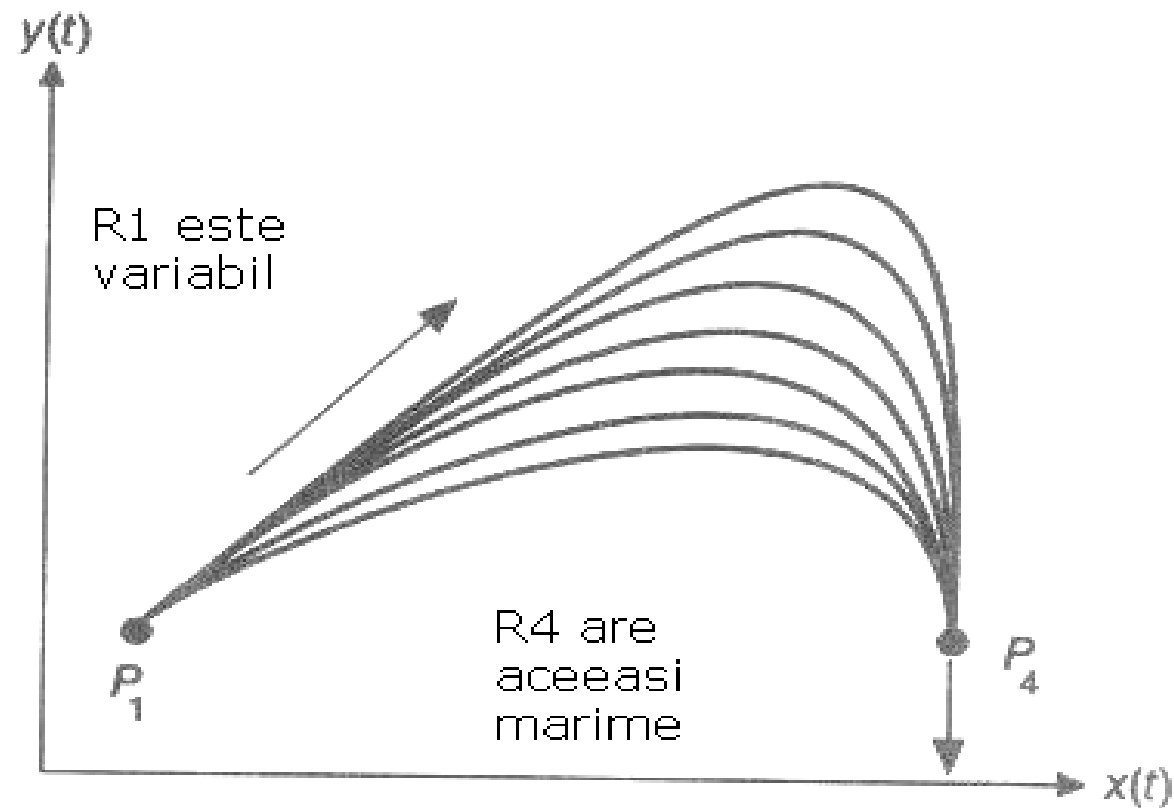
La $t = 1$ doar
 P_4 afecteaza
graficul curbei
Hermite



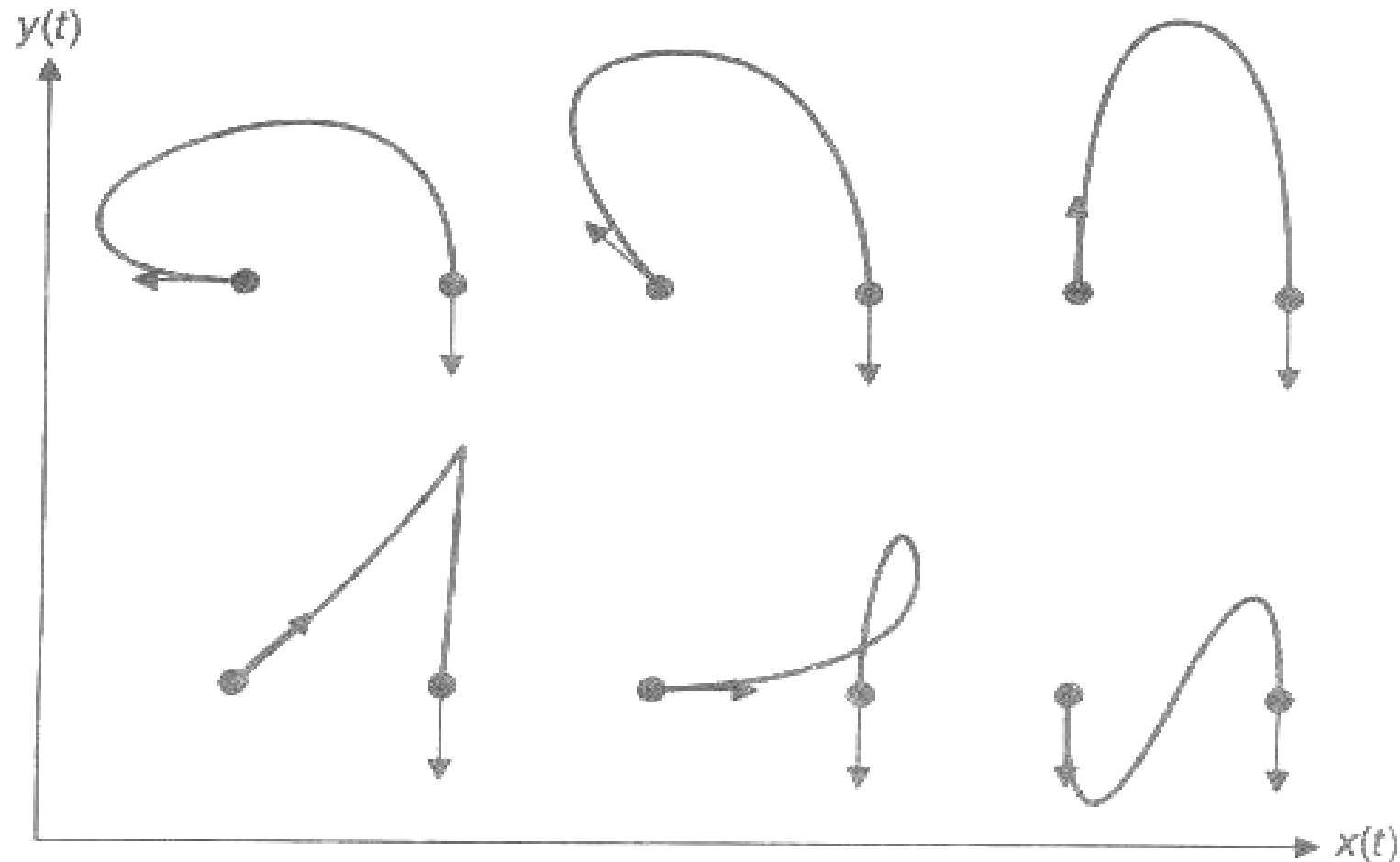
$$Q(t) = B_H \cdot G_H \Rightarrow$$

$$Q(t) = (2t^3 - 3t^2 + 1) \cdot P_1 + (-2t^3 + 3t^2) \cdot P_4 + (t^3 - 2t^2 + t) \cdot R_1 + (t^3 - t^2) \cdot R_4$$

O familie de curbe Hermite (care variaza prin lungimea lui R_1)



O familie de curbe Hermite (care variaza prin directia lui R_1)



Curbe Hermite



desenareHermite.cpp

Curbe Bézier

- O curba Bézier $Q(t)$ este specificata prin intermediul a 4 puncte de control : P_1, P_2, P_3, P_4 .
 - P_1, P_4 sunt extremitatile segmentului de curba $Q(0)$ si $Q(1)$
 - P_2, P_3 sunt doua puncte de control care nu apartin curbei Bézier. Prin intermediul acestor puncte sunt specificati vectorii tangenti $Q'(0)$ si $Q'(1)$: o curba Bézier cu vectorul geometric ${}^t(P_1 P_2 P_3 P_4)$ este o curba Hermite avand vectorul geometric ${}^t(P_1 P_4 R_1 R_4)$, unde
$$R_1 = Q'(0) = 3 * P_1P_2$$
 si
$$R_4 = Q'(1) = 3 * P_3P_4$$
- $Q(t) = T * M_B * G_B$
- Vectorul geometric G_H se obtine pe baza G_B

Curbe Bézier

- $Q(t) = T * M_B * G_B$
- Vectorul geometric G_H se obtine pe baza G_B :
 $G_H = M_{HB} * G_B$
- $Q(t) = T * M_H * G_H = T * M_H * M_{HB} * G_B =$
 $T * M_B * G_B = B_B * G_B =$
 $B(0,3) * P1 + B(1,3) * P2 + B(2,3) * P3 + B(3,3) * P4$
- $B(i,n)$ sunt polinoame Bernstein

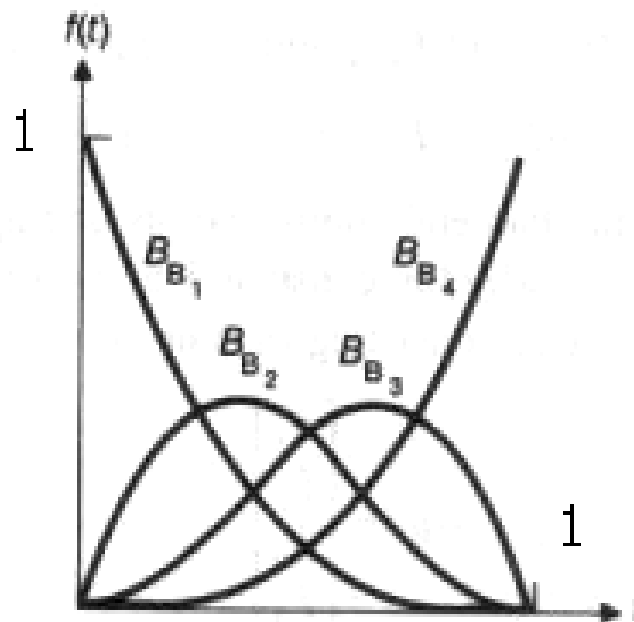
Curbe Bézier polinoame Bernstein

$$B(i, n) = C_n^i \cdot t^i \cdot (1-t)^{n-i}$$

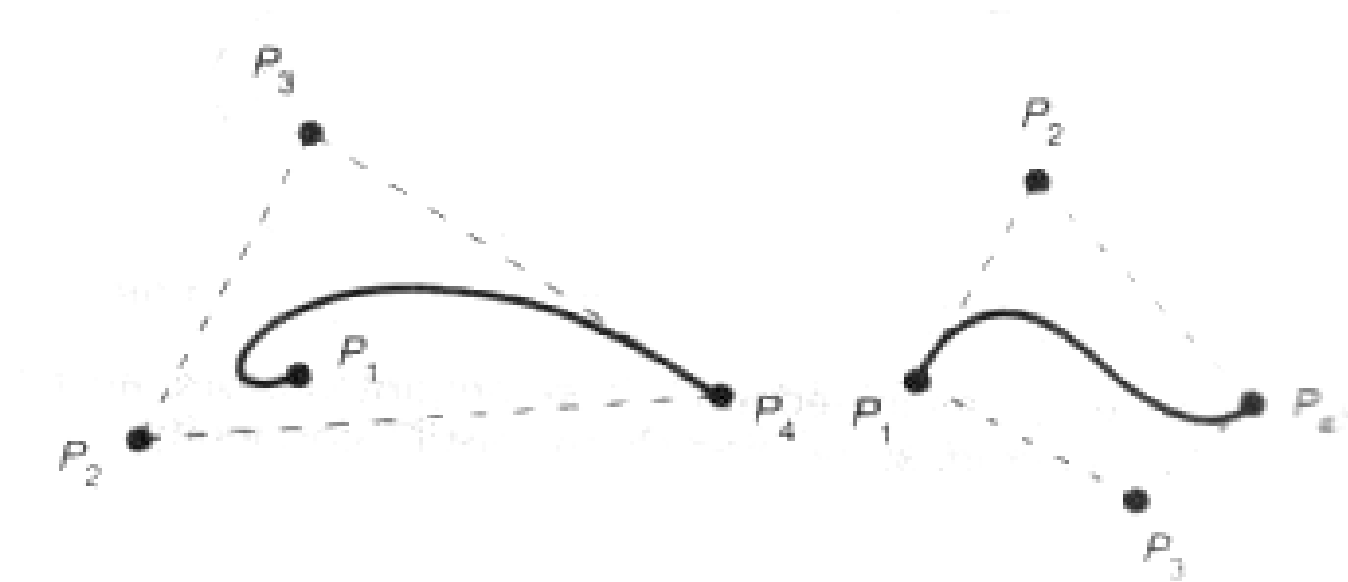
$$\sum_{i=0}^n B(i, n) = 1$$

$$(\forall 0 \leq i \leq n) (B(i, n) \geq 0)$$

Polinoame Bernstein – functii de ponderare pentru curbele Bezier



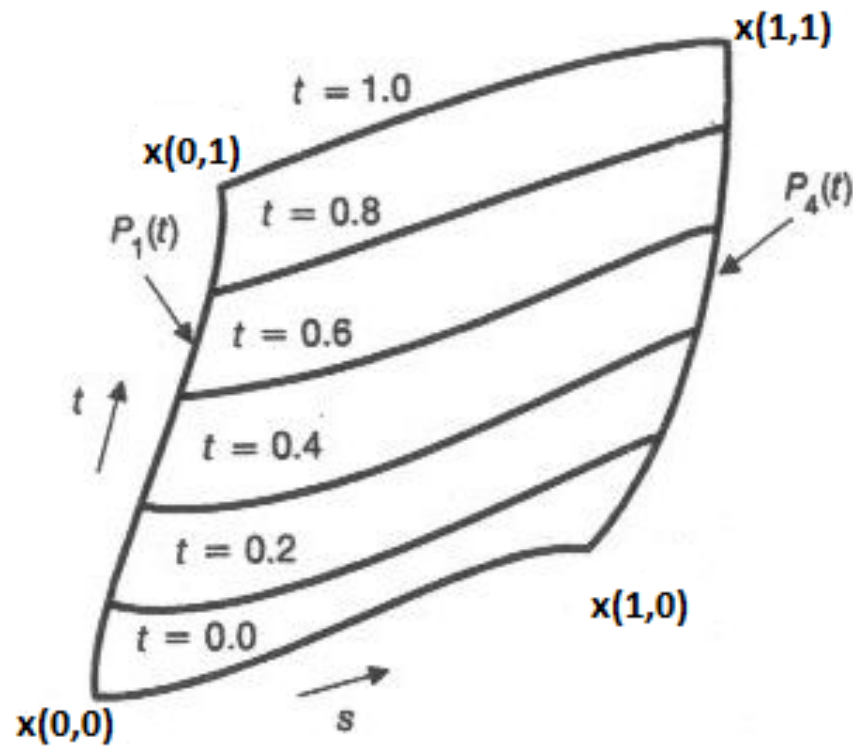
Doua curbe Bezier si punctele lor de control. Remarcati ca sunt complet incluse in infasuratoarea convexa a celor 4 puncte de control.



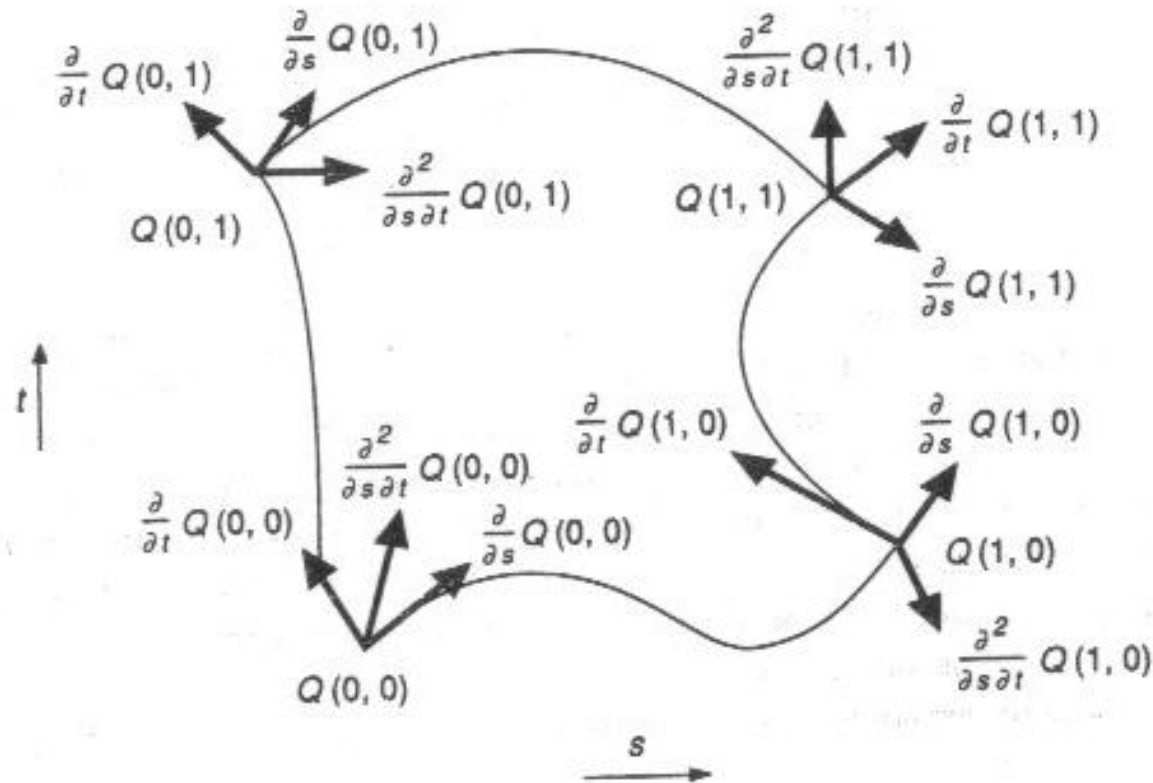
Suprafete parametrice polinomiale bivariate

$$P_1(t) = Q(0, t)$$

$$P_4(t) = Q(1, t)$$



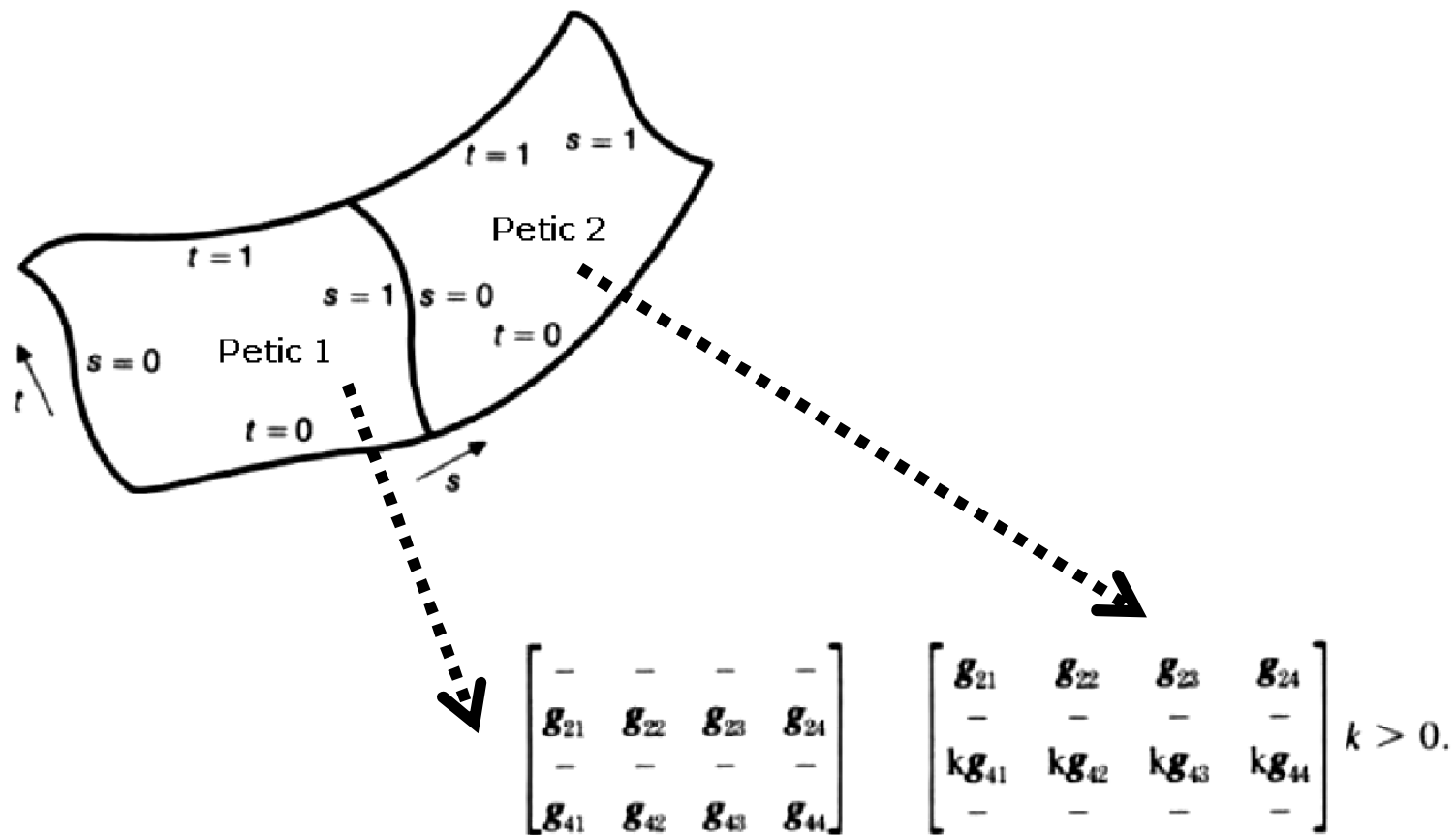
Elementele matricii geometrice pentru o suprafata Hermite



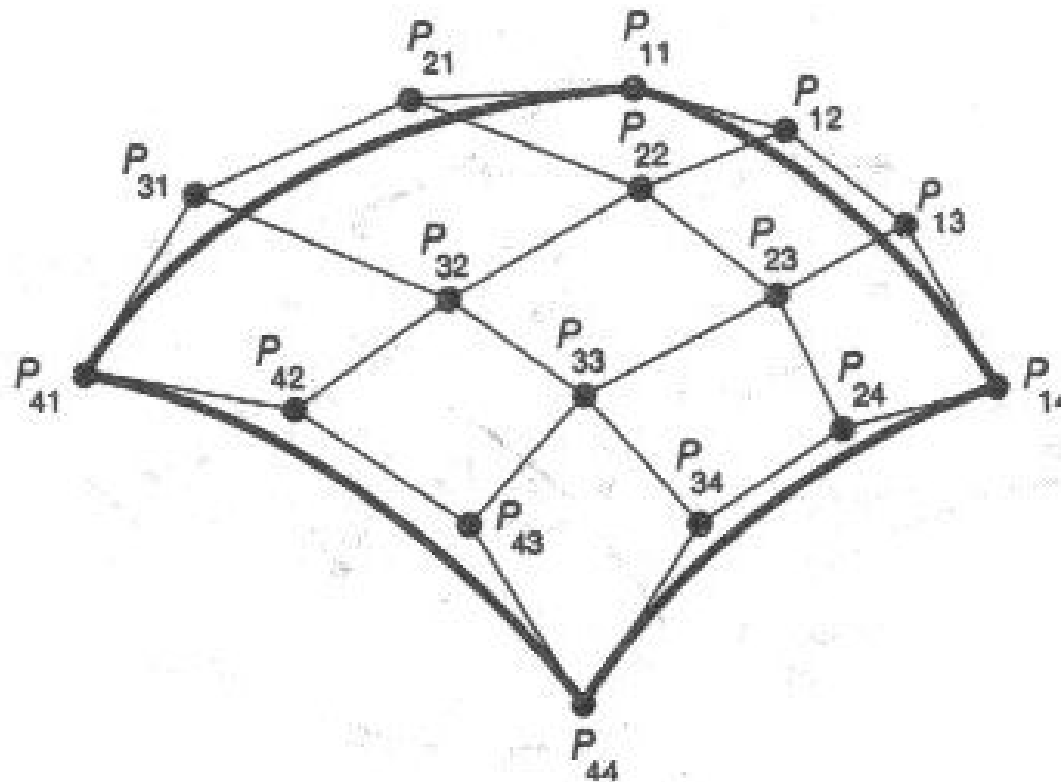
Elementele matricii geometrice pentru o
suprafata Hermite

$$\overline{G}_H = \begin{pmatrix} Q(0,0) & Q(0,1) & \frac{\partial}{\partial t}Q(0,0) & \frac{\partial}{\partial t}Q(0,1) \\ Q(1,0) & Q(1,1) & \frac{\partial}{\partial t}Q(1,0) & \frac{\partial}{\partial t}Q(1,1) \\ \frac{\partial}{\partial s}Q(0,0) & \frac{\partial}{\partial s}Q(0,1) & \frac{\partial^2}{\partial s \partial t}Q(0,0) & \frac{\partial^2}{\partial s \partial t}Q(0,1) \\ \frac{\partial}{\partial s}Q(1,0) & \frac{\partial}{\partial s}Q(1,1) & \frac{\partial^2}{\partial s \partial t}Q(1,0) & \frac{\partial^2}{\partial s \partial t}Q(1,1) \end{pmatrix}$$

Suprafate bicubice Hermite. Continuitate.



Suprafata bicubica Bezier. Remarcati cele 16 puncte de control.



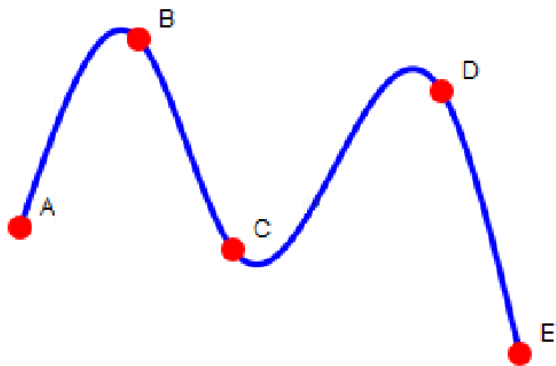
Curbe si suprafete Bézier in OpenGL

cap6p1.cpp

cap6p2.cpp

Curbe B-spline uniform nerationale

Curbe spline naturale cubice



- Polinoame de grad 3, continue C^0 , C^1 , C^2 in punctele de contact
 - mai netede decat Bézier, Hermite (C^0)

Curbe B-spline uniform nerationale

- Curbe spline naturale cubice
 - N puncte de control
 - Interpoleaza prin **toate** punctele de control
 - Coeficientii polinoamelor depind de **toate** punctele de control
 - Calculul lor pp. inversarea unei matrici din $\mathfrak{M}_{n+1 \times n+1}(\mathfrak{R})$

Curbe B-spline uniform nerationale

- Curbe B-spline
 - Nu interpoleaza prin punctele de control
 - Coeficientii polinoamelor depind de **cateva** punctele de control: proprietatea controlului local
 - Aceeasi continuitate ca si curbele spline naturale

Curbe B-spline uniform nerationale

- Curbe B-spline
 - Puncte de control (aproximare, nu interpolare): $m+1$

$$(P_i)_{0 \leq i \leq m}, \quad m \geq 3$$

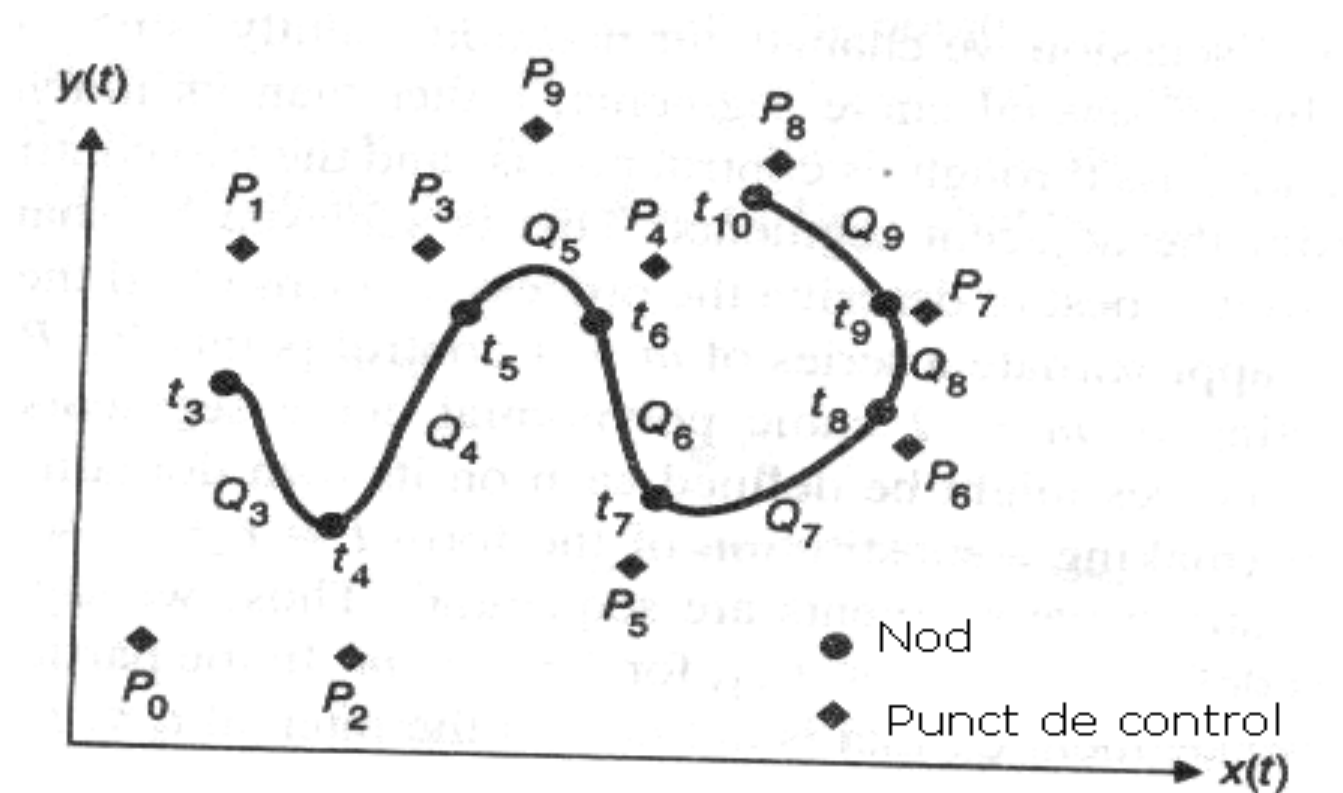
- Segmente de curba: $m-2$

$$(Q_j)_{3 \leq j \leq m}$$

Curbe B-spline uniform nerationale

- Curbe B-spline
 - Nod
 - Valoarea nodului

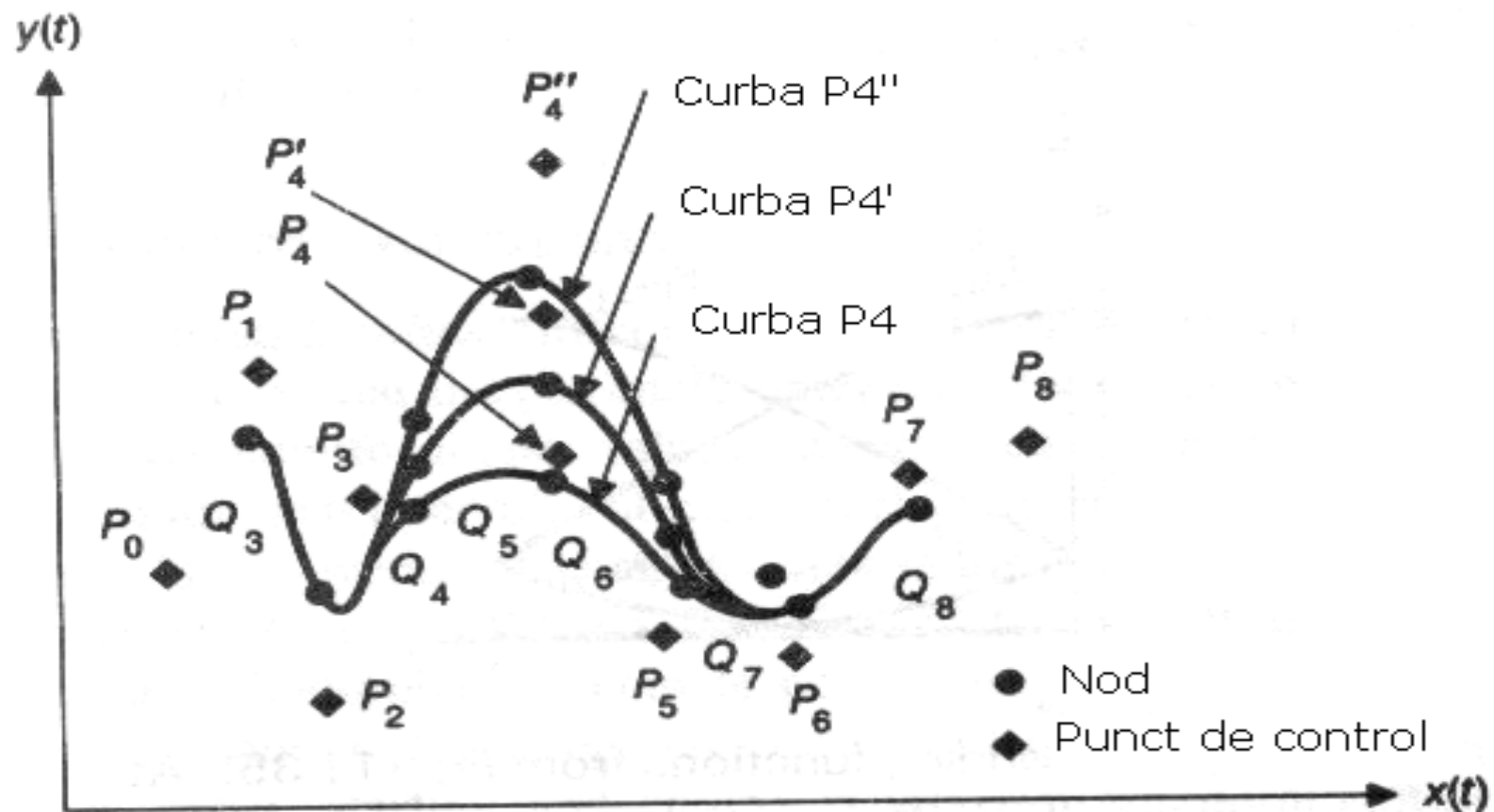
O curba B-spline uniform nerationalala avand
segmentele de curba $Q_3 \div Q_9$.



Curbe B-spline uniform nerationale

- Curbe B-spline
 - Semnificatii
 - Uniform
 - Nerational
 - B

O curba B-spline uniform neratională cu punctul de control P_4 în diverse poziții : P_4 , P_4' , P_4'' .



Curbe B-spline uniform nerationale

$$Q_i(t) = T_i \cdot M_{Bs} \cdot G_{Bs_i}$$

$$T_i = \begin{pmatrix} (t - t_i)^3 & (t - t_i)^2 & (t - t_i) & 1 \end{pmatrix}$$

$$t_i \leq t \leq t_i + 1$$

$$3 \leq i \leq m$$

Curbe B-spline uniform nerationale

$$Q_i(t) = T_i \cdot M_{Bs} \cdot G_{Bs_i}$$

$$M_{Bs} = \frac{1}{6} \begin{pmatrix} -1 & 3 & -3 & 1 \\ 3 & -6 & 3 & 0 \\ -3 & 0 & 3 & 0 \\ 1 & 4 & 1 & 0 \end{pmatrix}$$

Curbe B-spline uniform nerationale

$$Q_i(t) = T_i \cdot M_{Bs} \cdot G_{Bs_i}$$

$$G_{Bs_i} = \begin{pmatrix} P_{i-3} \\ P_{i-2} \\ P_{i-1} \\ P_i \end{pmatrix}$$

Curbe B-spline uniform nerationale

$$T = \begin{pmatrix} t^3 & t^2 & t & 1 \end{pmatrix}, \quad 0 \leq t < 1$$

$$B_{Bs} = T \cdot M_{Bs} = \begin{pmatrix} B_{Bs_{-3}} & B_{Bs_{-2}} & B_{Bs_{-1}} & B_{Bs_{-0}} \end{pmatrix} =$$

$$\frac{1}{6} \cdot \begin{pmatrix} (1-t)^3 & 3t^3 - 6t^2 + 4 & -3t^3 + 3t^2 + 3t + 1 & t^3 \end{pmatrix}$$

$$\Downarrow$$

$$\vdots$$

Curbe B-spline uniform nerationale

\vdots

\Downarrow

$$Q_i(t + t_i) = B_{Bs} \cdot G_{Bs_i} =$$

$$\frac{(1-t)^3}{6} \cdot P_{i-3} + \frac{3t^3 - 6t^2 + 4}{6} \cdot P_{i-2} + \frac{-3t^3 + 3t^2 + 3t + 1}{6} \cdot P_{i-1} + \frac{t^3}{6} \cdot P_i$$

$$0 \leq t < 1$$

Curbe B-spline uniform nerationale

- Curbele B-spline uniform nerationale au continuitate C^0 , C^1 si C^2 in punctele de contact

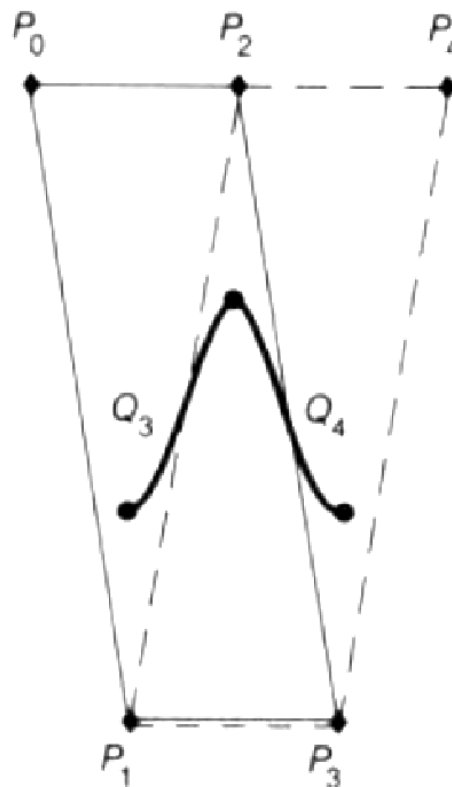
$$Q_i(1+t_i) = Q_{i+1}(0+t_{i+1})$$

$$Q'_i(1+t_i) = Q'_{i+1}(0+t_{i+1})$$

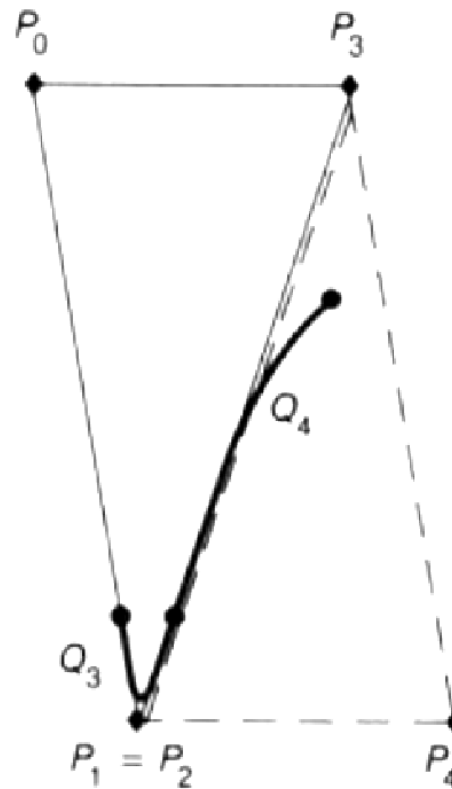
$$Q''_i(1+t_i) = Q''_{i+1}(0+t_{i+1})$$

$$\overset{\bullet}{f_i(t)} = \overset{\bullet}{Q_i(t+t_i)}$$

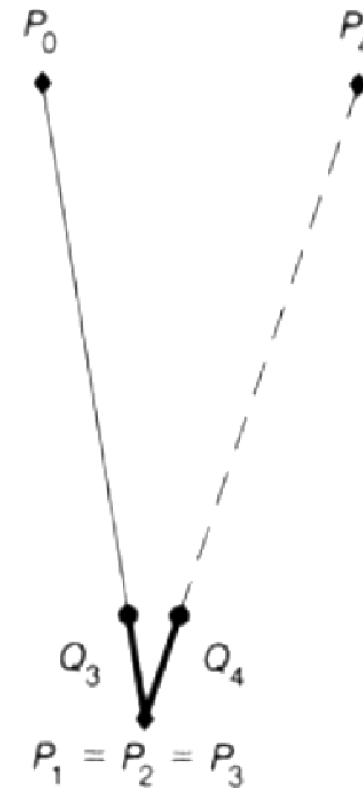
Efectul punctelor multiple de control asupra unei curbe B-spline uniform nerationale: fortarea interpolării anumitor puncte de control



(a)

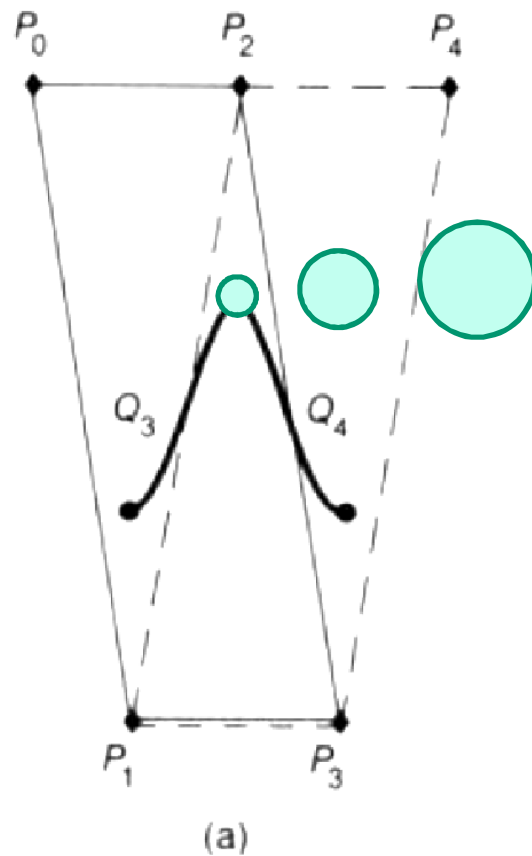


(b)

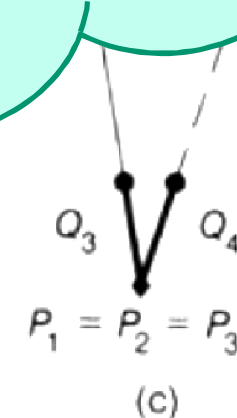
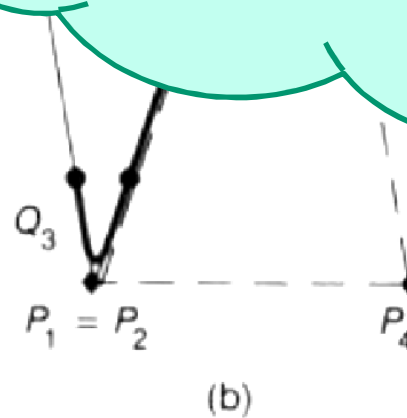


(c)

Efectul punctelor multiple de control asupra unei curbe B-spline uniform nerationale: fortarea interpolării anumitor puncte de control

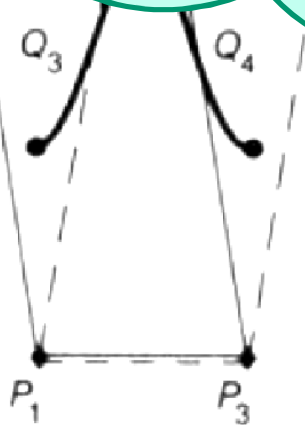


Niciun punct de control
multiplu:
 $Q_3(1) \in IC(P_0, P_1, P_2, P_3)$
 $Q_4(0) \in IC(P_1, P_2, P_3, P_4)$

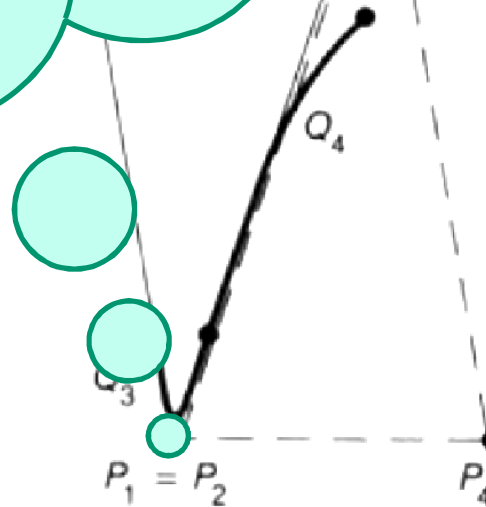


Efectul punctelor de control asupra unei
 clădirii operaționale: fortarea
 punctelor de control

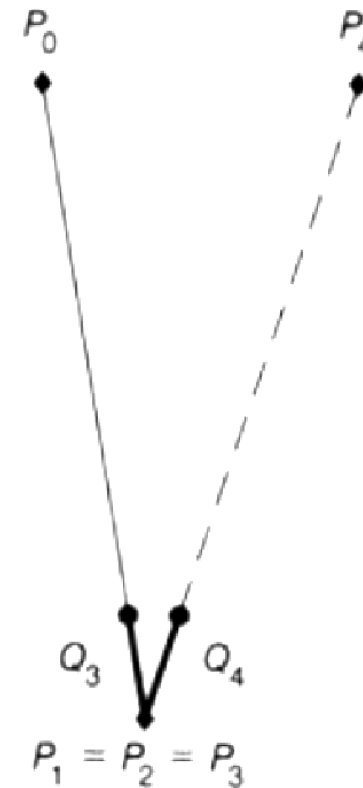
$P_1 = P_2$
 $Q_3(1) \in IC(P_0, P_1, P_3)$
 $Q_4(0) \in IC(P_1, P_3, P_4)$
 $Q_3(1) = Q_4(0) \in [P_1, P_3]$



(a)



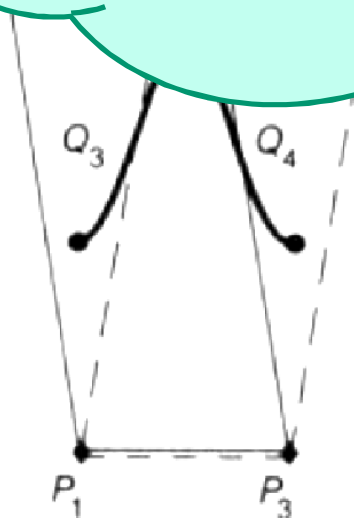
(b)



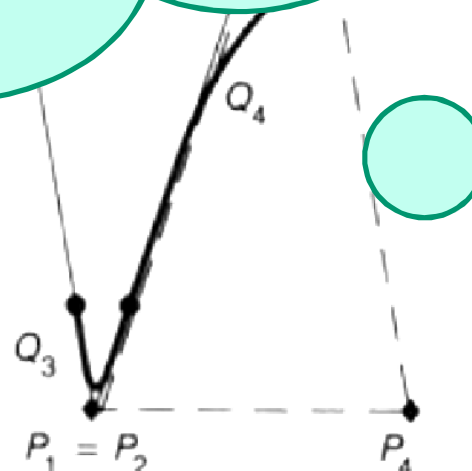
(c)

Efectul punctului de control asupra unei
curbe: fortarea
într-un punct

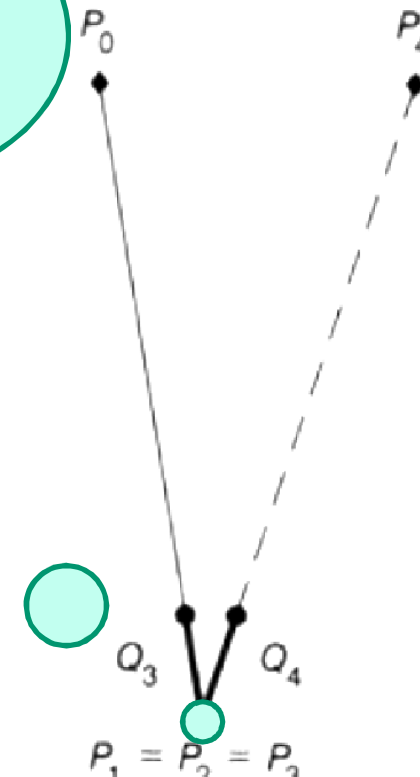
$$\begin{aligned} P_1 &= P_2 = P_3 \\ Q_3(1) &\in IC(P_0, P_3) = [P_0, P_1] \\ Q_4(0) &\in IC(P_1, P_4) = [P_1, P_4] \\ Q_3(1) &= Q_4(0) = P_1 \end{aligned}$$



(a)



(b)



(c)

Curbe B-spline neuniform nerationale

- Intervalele $[t_i, t_{i+1})$ nu mai sunt uniforme ca in cazul curbelor B-spline uniform nerationale
- Continuitatea in punctele de contact poate varia: C^2 , C^1 , C^0 , necontinuitate

Curbe B-spline uniform nerationale

- Puncte de control (aproximare, nu interpolare): $m+1$

$$(P_i)_{0 \leq i \leq m}, \quad m \geq 3$$

- Secventa de valori de nod: $m+5$

$$(t_i)_{0 \leq i \leq m+4} \\ (\forall 0 \leq i < m+4)(t_i \leq t_{i+1})$$

Curbe B-spline uniform nerationale

- Segmente de curba: $m-2$

$$\left(Q_i(t) \right)_{3 \leq i \leq m}$$
$$t_i \leq t < t_{i+1}$$

- Noduri multiple de multiplicitate k

$$t_i = t_{i+1} = \dots = t_{i+k-1}$$

Curbe B-spline neuniform nerationale

$$Q_i(t) = \sum_{j=0}^3 P_{i-j} \cdot B_{i-j,4}(t), \quad 3 \leq i \leq m$$

$(B_{i-j,4}(t))_{0 \leq j \leq 3}$ sunt functiile de amestecare

$$B_{i,1}(t) = \begin{cases} 1 & , t_i \leq t < t_{i+1} \\ 0 & , \text{altfel} \end{cases}$$

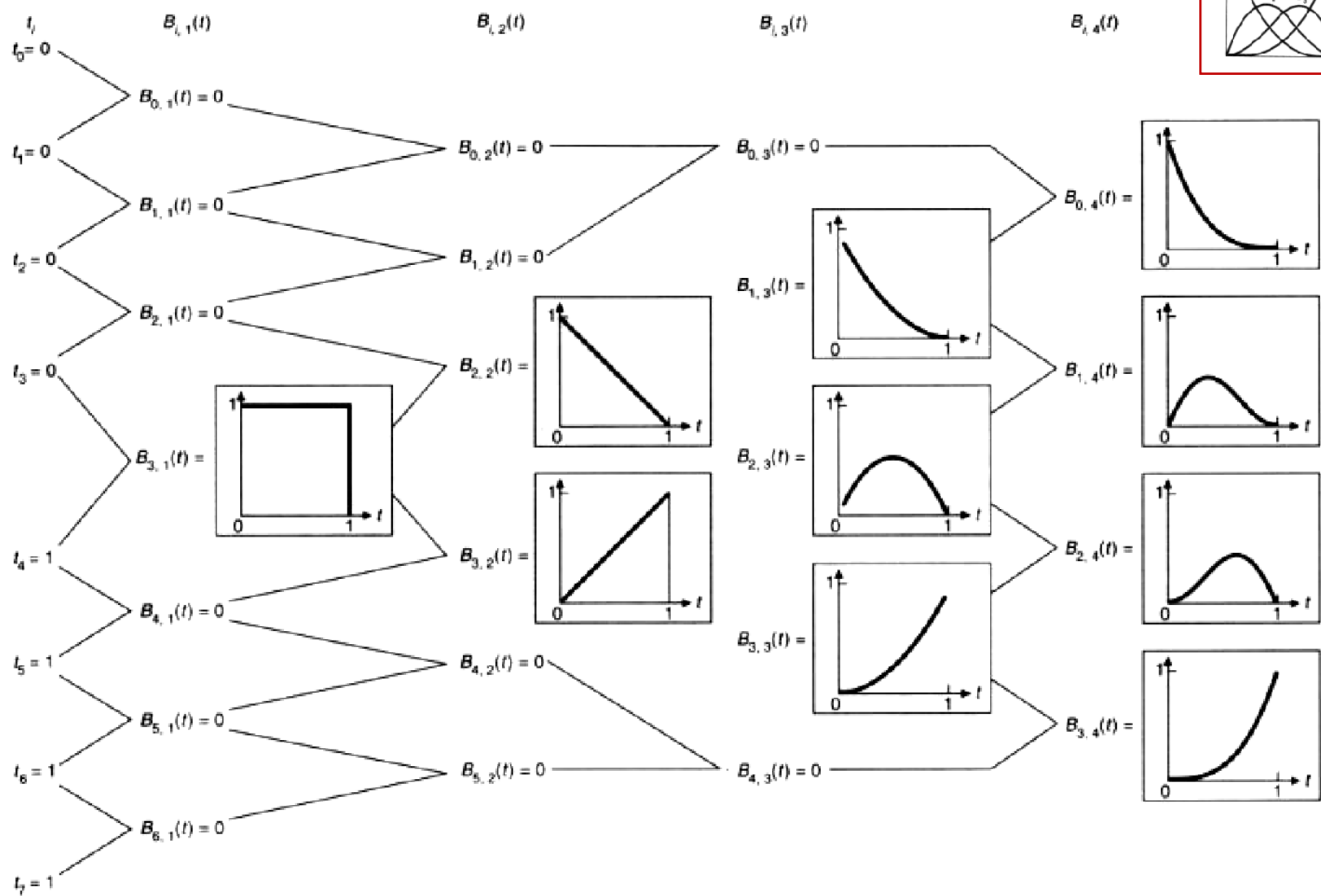
$$B_{i,2}(t) = \frac{t - t_i}{t_{i+1} - t_i} \cdot B_{i,1}(t) + \frac{t_{i+2} - t}{t_{i+2} - t_{i+1}} \cdot B_{i+1,1}(t)$$

$$B_{i,3}(t) = \frac{t - t_i}{t_{i+2} - t_i} \cdot B_{i,2}(t) + \frac{t_{i+3} - t}{t_{i+3} - t_{i+1}} \cdot B_{i+1,2}(t)$$

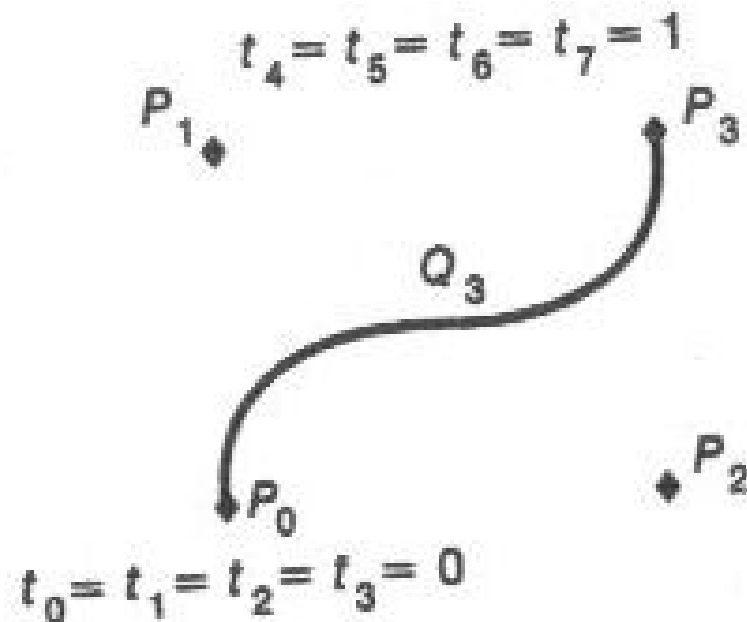
$$B_{i,4}(t) = \frac{t - t_i}{t_{i+3} - t_i} \cdot B_{i,3}(t) + \frac{t_{i+4} - t}{t_{i+4} - t_{i+1}} \cdot B_{i+1,3}(t)$$

Curbe B-spline uniform nerationale

- Exemplu
 - $m=3$
 - secventa de valori de nod
(0,0,0,0,1,1,1,1)



Curba neuniform nerationala B-spline cu noduri multiple. Secventa de noduri este $(0,0,0,0,1,1,1,1)$. Practic avem un segment de curba Bezier.



Curbe B-spline uniform nerationale

- $(\forall 3 \leq i \leq m)(B_{i,4}(t_i) = 0)$
 - Corolar
 - $Q_i(t_i) \in IC(P_{i-3}, P_{i-2}, P_{i-1})$
 - Daca $t_i = t_{i+1}$
atunci $Q_i(t) = P \in IC(P_{i-3}, P_{i-2}, P_{i-1}) \cap$
 $IC(P_{i-2}, P_{i-1}, P_i) =$
 $[P_{i-2} P_{i-1}]$

Curbe B-spline uniform nerationale

- $(\forall 3 \leq i \leq m)(B_{i,4}(t_i) = 0)$

– Corolar

$$Q_i(t_i) \in IC(P_{i-3}, P_{i-2}, P_{i-1})$$

- Daca $t_i = t_{i+1} = t_{i+2}$
atunci $Q_i(t) = Q_{i+1}(t) = P \in$
 $IC(P_{i-3}, P_{i-2}, P_{i-1}) \cap$
 $IC(P_{i-2}, P_{i-1}, P_i) \cap$
 $IC(P_{i-1}, P_i, P_{i+1}) = \{P_{i-1}\}$

Curbe B-spline uniform nerationale

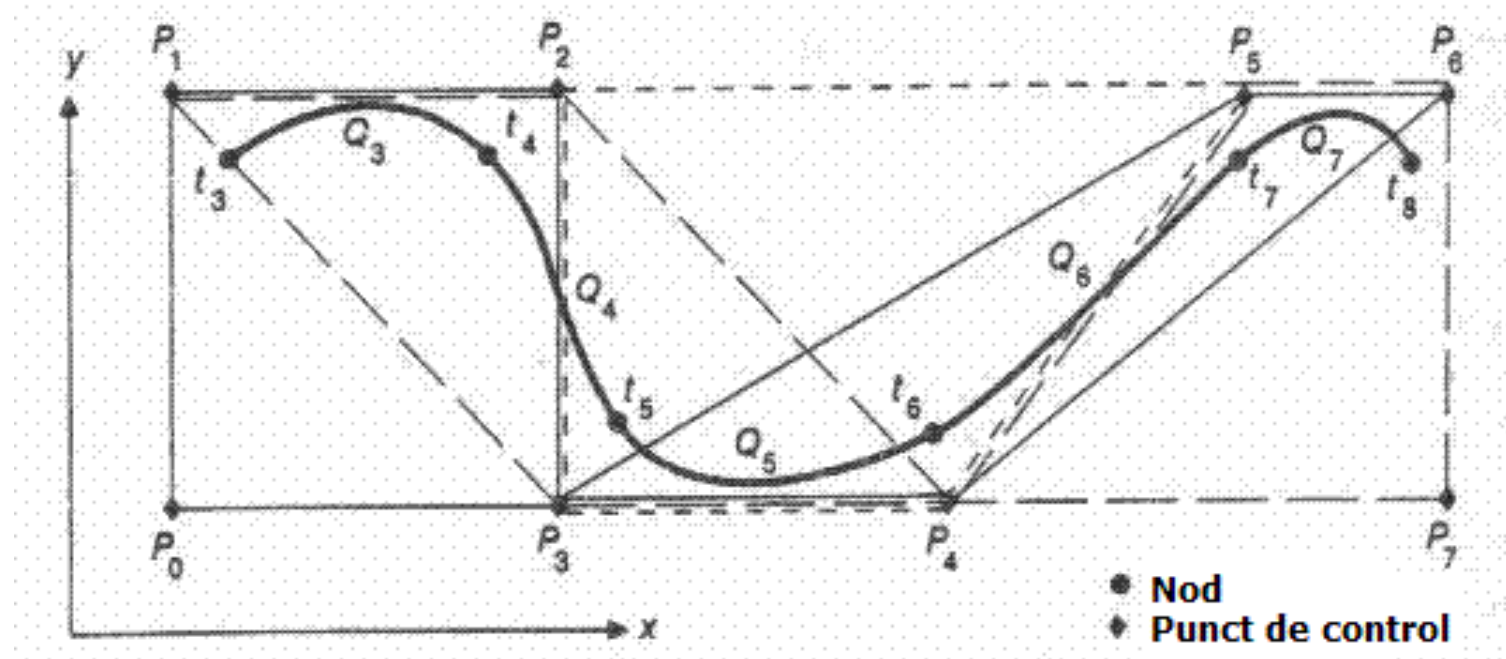
- $(\forall 3 \leq i \leq m)(B_{i,4}(t_i) = 0)$

– Corolar

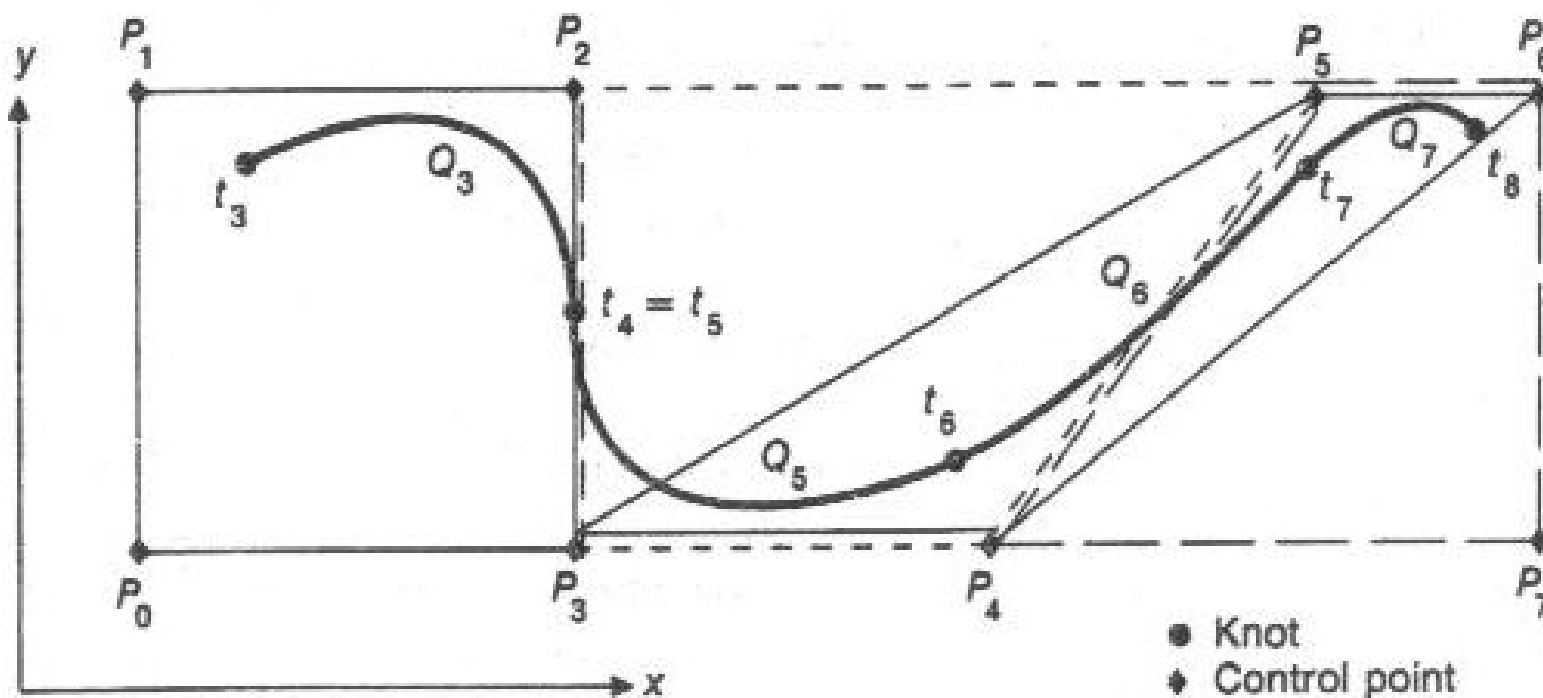
$$Q_i(t_i) \in IC(P_{i-3}, P_{i-2}, P_{i-1})$$

- Daca $t_i = t_{i+1} = t_{i+2} = t_{i+3}$
atunci necontinuitate

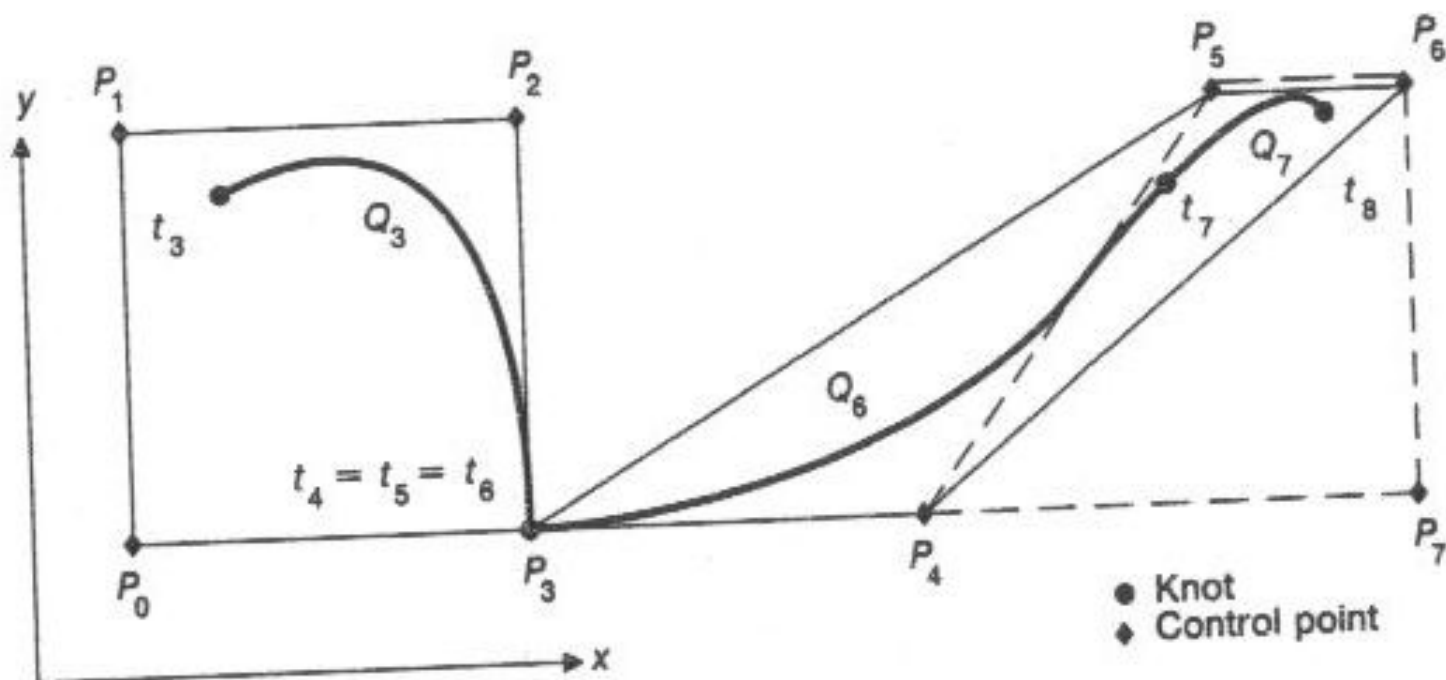
Efectul nodurilor multiple. In acest caz avem secventa de noduri (0,1,2,3,4,5) si deci nu avem noduri multiple. Continuitatea este C^2 .



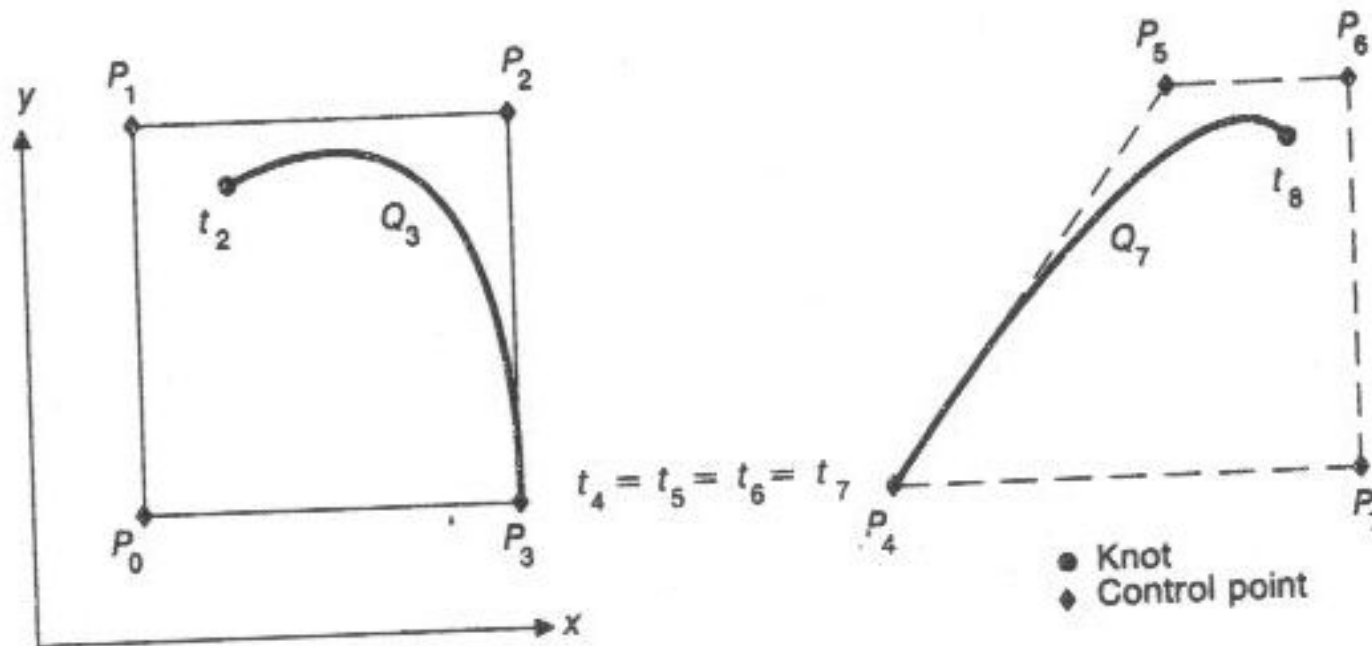
Efectul nodurilor multiple. In acest caz avem secventa de noduri $(0,1,1,2,3,4)$ si deci avem un nod dublu si deci segmentul de curba Q_4 este un punct. Punctul de contact dintre Q_3 si Q_4 se gaseste pe segmentul P_2P_3 care este intersectia dintre I.C. ce contin Q_3 si Q_4 . Continuitatea in pct. de contact este C^1 .



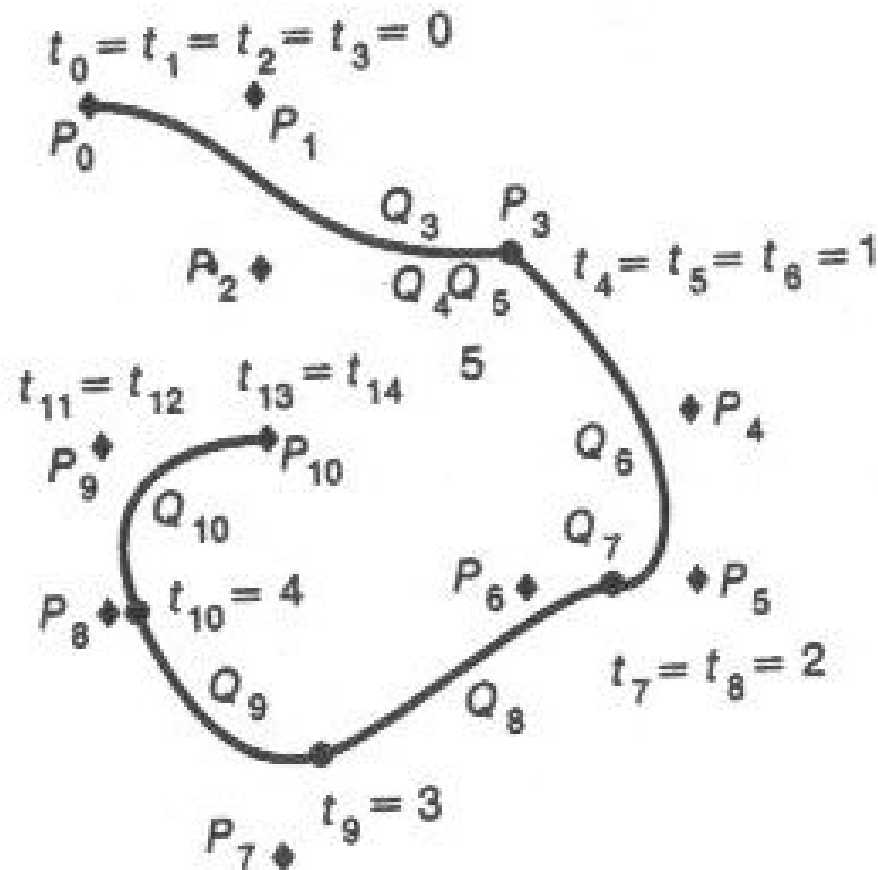
Efectul nodurilor multiple. In acest caz avem secventa de noduri (0,1,1,1,2,3) si deci avem un nod triplu si deci Q_4 si Q_5 sunt puncte. I.C.(Q_3) se intersecteaza cu I.C.(Q_6) doar in P_3 si deci punctul de contact dintre Q_3 si Q_6 este P_3 . Continuitatea in pct. de contact este C^0 .



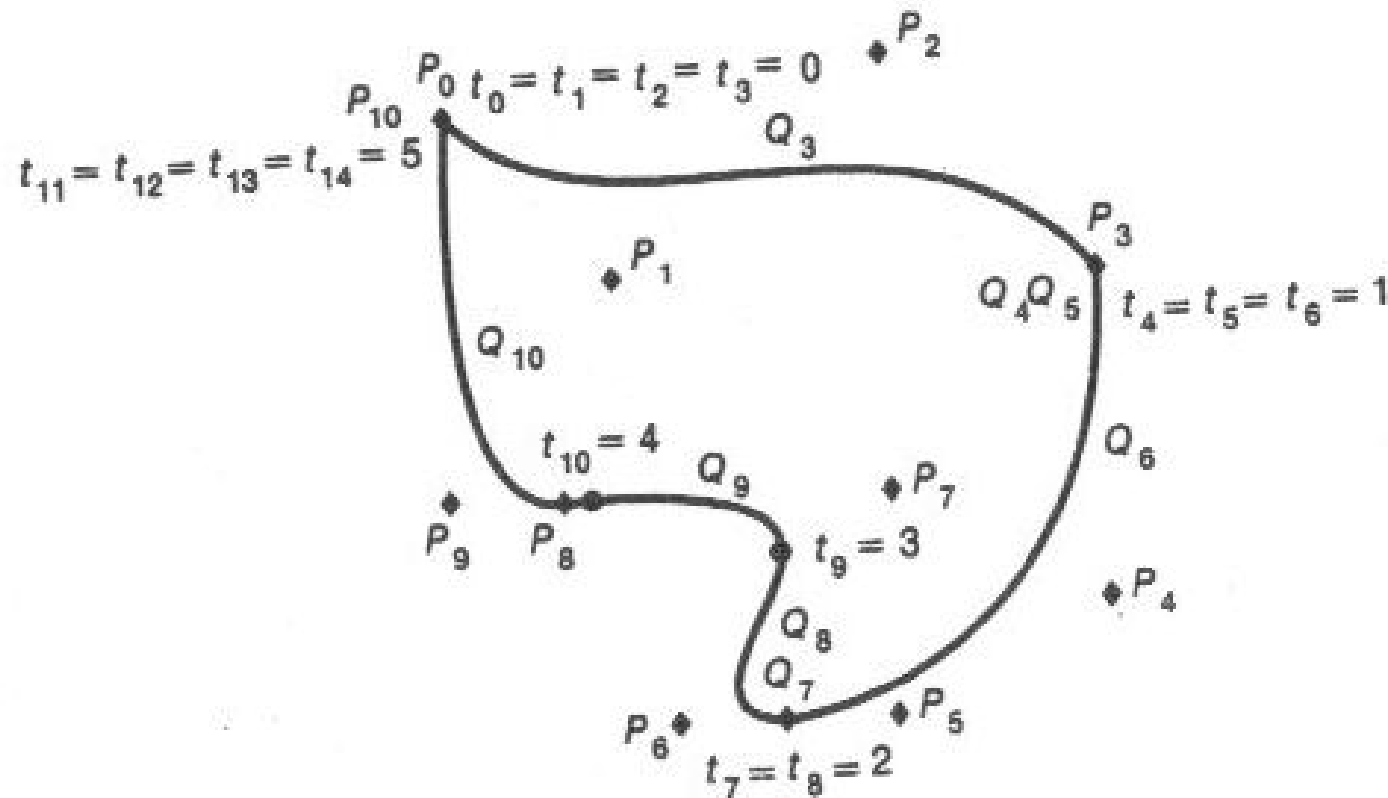
Efectul nodurilor multiple. In acest caz avem secventa de noduri $(0,1,1,1,1,2)$ si deci avem un nod cvadruplu. Curba este discontinua.



Curba neuniform nerationala B-spline cu noduri multiple. Secventa de noduri este $(0,0,0,0,1,1,1,2,2,3,4,5,5,5,5)$.



Curba neuniform nerationala B-spline cu noduri multiple. Secventa de noduri este $(0,0,0,0,1,1,1,2,2,3,4,5,5,5,5)$. Difera de curba precedenta prin punctele de control.



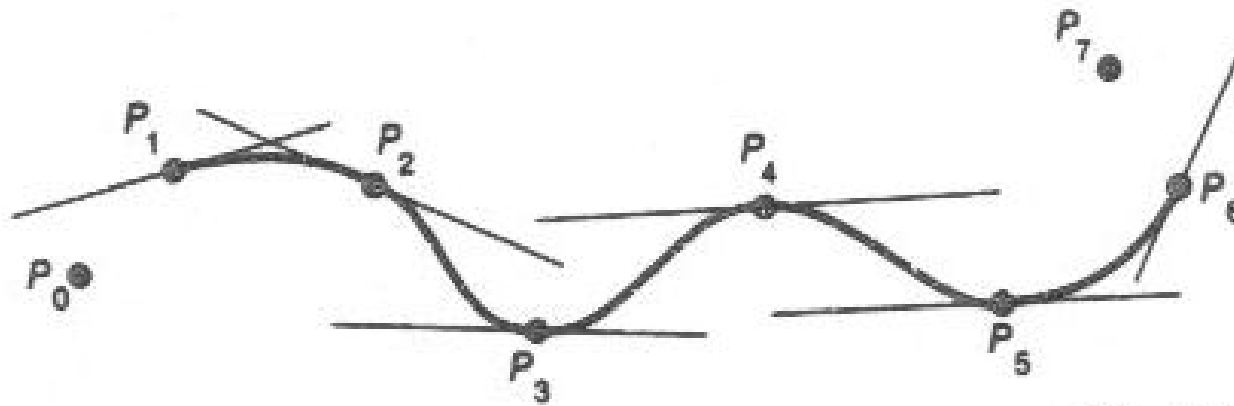
Curbe spline Catmull-Rom

- Puncte de control (aproximare, nu interpolare): $m+1$

$$(P_i)_{0 \leq i \leq m}, \quad m \geq 3$$

- Interpolare $(P_i)_{1 \leq i \leq m-1}$
- Vectorul tangent in P_i este paralel cu $P_{i-1}P_{i+1}$

Curba spline Catmull-Rom



Curbe spline Catmull-Rom

$$Q_i(t) = T \cdot M_{CR} \cdot G_{Bs_i} =$$
$$\frac{1}{2} \cdot T \cdot \begin{pmatrix} -1 & 3 & -3 & 1 \\ 2 & -5 & 4 & -1 \\ -1 & 0 & 1 & 0 \\ 0 & 2 & 0 & 0 \end{pmatrix} \cdot \begin{pmatrix} P_{i-3} \\ P_{i-2} \\ P_{i-1} \\ P_i \end{pmatrix}$$

Suprafete cvadrice

- Suprafete definite implicit printr-o ecuatie de forma $f(x,y,z) = 0$, unde f este un polinom de grad cel mult 2 in x , y si z

$$f(x_1, x_2, x_3) = \sum_{i,j=1}^3 Q_{i,j} x_i x_j + \sum_{i=1}^3 P_i x_i + R$$

$$Q = \begin{pmatrix} a & d & f \\ d & b & e \\ f & e & c \end{pmatrix} \in \mathfrak{M}_{3 \times 3}(\mathfrak{R})$$

$$P = (g \quad h \quad i) \in \mathfrak{M}_{1 \times 3}(\mathfrak{R})$$

$$R \in \mathfrak{R}$$

Suprafete cvadrice

$$f(x, y, z) = ax^2 + by^2 + cz^2 + 2dxy + 2eyz + 2fxz + 2gx + 2hy + 2jz + k$$

$${}^tP \cdot Q \cdot P = 0$$

$$Q = \begin{pmatrix} a & d & f & g \\ d & b & e & h \\ f & e & c & j \\ g & h & j & k \end{pmatrix} \in \mathfrak{M}_{4 \times 4}(\mathbb{R})$$

$$P = \begin{pmatrix} x \\ y \\ z \\ 1 \end{pmatrix}$$

Suprafete cvadrice

- Transformarea M

$${}^t P \cdot Q' \cdot P = 0$$

$$Q' = {}^t (M^{-1}) \cdot Q \cdot (M^{-1})$$